



# OFICINA ESPAÑOLA DE PATENTES Y MARCAS

ESPAÑA



11) Número de publicación: 2 785 205

51 Int. Cl.:

C12Q 1/6869 (2008.01) C12Q 1/689 (2008.01)

(12)

### TRADUCCIÓN DE PATENTE EUROPEA

**T3** 

(86) Fecha de presentación y número de la solicitud internacional: 15.12.2014 PCT/EP2014/077672

(87) Fecha y número de publicación internacional: 02.07.2015 WO15097006

Fecha de presentación y número de la solicitud europea: 15.12.2014 E 14820806 (9)

(97) Fecha y número de publicación de la concesión europea: 22.01.2020 EP 3087198

54 Título: Análisis metagenómico de muestras

(30) Prioridad:

24.12.2013 EP 13199610 13.01.2014 EP 14150903

Fecha de publicación y mención en BOPI de la traducción de la patente: **06.10.2020** 

(73) Titular/es:

UNIVERSITE DE LIEGE (50.0%) Avenue Pré-Aily 4 4031 Angleur, BE y QUALITY PARTNER S.A. (50.0%)

(72) Inventor/es:

DAUBE, GEORGES; TAMINIAU, BERNARD; NEZER, CARINE y DELHALLE, LAURENT

(74) Agente/Representante:

**ELZABURU, S.L.P** 

#### **Observaciones:**

Véase nota informativa (Remarks, Remarques o Bemerkungen) en el folleto original publicado por la Oficina Europea de Patentes

#### **DESCRIPCIÓN**

Análisis metagenómico de muestras

15

20

25

35

45

50

La invención se refiere a un método analítico que se ha desarrollado para identificar y cuantificar el contenido total de microorganismos de las muestras de alimentos fermentados.

El contenido microbiano de los alimentos, las heces o las muestras ambientales a menudo se identifican o cuantifican a través de métodos dependientes del cultivo. Entre las tecnologías moleculares de nueva generación, el análisis metagenómico ha emergido como una herramienta poderosa. La metagenómica aplica un conjunto de tecnologías genómicas y herramientas bioinformáticas para acceder directamente al contenido genético de comunidades enteras de organismos. Esta tecnología se usa comúnmente para describir los perfiles de la comunidad microbiana de varios ecosistemas como mares, suelos, rumen y heces, pero también para estudiar la microbiota compleja de alimentos.

Quedan varios problemas con el análisis metagenómico de alimentos y otras muestras similares. En primer lugar, es necesario proporcionar un enfoque metagenómico global que no dependa de la capacidad del microbio para crecer en medios de cultivo determinados en condiciones ambientales definidas (por ejemplo, pH, Tª, Aw). Tal enfoque debería proporcionar la descripción así como la cuantificación de los microorganismos observados, que es una necesidad crítica en algunos entornos, por ejemplo, cuando se deben explicar los problemas de deterioro de los alimentos.

En segundo lugar, los métodos de análisis metagenómicos de la técnica anterior pueden estar sesgados por la presencia en las muestras que se analizan de microorganismos no viables. En muchos casos, especialmente en el análisis metagenómico de muestras de alimentos, es importante ser capaz de caracterizar y cuantificar solo los microorganismos vivos en una muestra. Las técnicas metagenómicas de la técnica anterior no permiten tal análisis y resultados, por lo tanto, puede ser engañoso cuando se aplica al análisis de muestras de alimentos.

En tercer lugar, los métodos de análisis metagenómico de la técnica anterior pueden estar sesgados por la presencia de ADN contaminante presente en la muestra, que se amplifica junto con la secuencia diana de interés, pero que no proporciona información útil sobre la microbiota de la muestra. Por ejemplo, el ADN del cloroplasto o el ADN mitocondrial pueden co-amplificarse con la diana, donde la diana es el gen bien conocido de ARNr 16S.

En cuarto lugar, los métodos de análisis metagenómico de la técnica anterior pueden estar sesgados por la presencia de una gran cantidad de ADN de bacterias u otros microorganismos añadidos deliberadamente a los alimentos como un ingrediente o por la presencia de una especie dominante natural. Tal ADN puede enmascarar el ADN de interés en un análisis metagenómico.

Park EJ y cols. (Food microbiology, Academic Press Ltd., Londres, GB, Vol. 30, nº. 1, páginas 197-204, 2011) describen el análisis de la comunidad bacteriana durante la fermentación de diez tipos representativos de kimchi con pirosecuenciación con código de barras.

Carrol IM y cols., (Neurogastroenterology & Motility, Vol. 24, nº. 6, páginas 521-e248, 2012) describen alteraciones en la composición y diversidad de la microbiota intestinal en pacientes con síndrome de intestino irritable con predominio de diarrea.

Nocker A y cols., (International Microbiology, Springer Verlag Iberica, Barcelona, ES, Vol. 13, nº. 2, páginas 59-65, 2010) describen la discriminación entre células vivas y muertas en comunidades bacterianas de muestras de agua ambiental analizadas por pirosecuenciación 454.

Lundberg DS y cols., (Nature Methods, página 999, 2013) describen mejoras para la secuenciación de amplicones de ARN ribosómico (ARNr) 16S, una técnica fundamental en metagenómica.

Por lo tanto, existe la necesidad de mejorar los métodos y herramientas de análisis metagenómico. La invención supera estos y otros problemas.

#### Resumen de la invención

De acuerdo con un primer aspecto de la invención, se proporciona un método de análisis metagenómico de alimentos fermentados de acuerdo con la reivindicación 1 de esta memoria.

Se describe un enfoque metagenómico integrado desarrollado para (I) identificar y (II) cuantificar el contenido de microorganismos de cualquier muestra, (III) distinguir si las secuencias de ADN observadas derivaban de gérmenes vivos o muertos, (IV) bloquear la conocida co-amplificación de ADN mitocondrial y plastídico con cebadores bacterianos universales 16S, que podría representar más del 90% de las secuencias en algunas preparaciones de alimentos y, (V) bloquear la amplificación de gérmenes sobre-representados evitando que se observen gérmenes raros pero importantes.

Nuestro análisis metagenómico es un enfoque basado en la PCR dirigida al locus del ADNr altamente conservado que codifica para el gen de ADNr 16S. Este gen se usa comúnmente para la clasificación taxonómica bacteriana, ya que

contiene una sucesión de nueve regiones hipervariables con secuencias bien conservadas en medio. Las secuencias conservadas se usan para diseñar cebadores bacterianos universales que flanquean una región polimórfica elegida en función de su alto contenido de información para una identificación precisa de especies del contenido de microorganismos.

Se describe un método de análisis metagenómico de un alimento o muestra de heces para detectar y cuantificar microorganismos presentes en dicha muestra, el análisis comprende la amplificación de la región V2-V3 del ARNr bacteriano 16S en dicha muestra. En algunas realizaciones, se amplifica la región V1-V3 del ARNr bacteriano 16S. Los inventores han identificado que la región V2-V3 proporciona una excelente hipervariabilidad entre la flora común de descomposición de los alimentos y, por lo tanto, permite distinguir y cuantificar las bacterias que probablemente estén presentes en las muestras de alimentos.

En algunas realizaciones, el uso de V2-V3 del ARNr 16S, de acuerdo con la invención, en un análisis metagenómico, permite la identificación y distinción de secuencias de bacterias de las familias: *Acetobacteraceae, Aeromonadaceae, Bacteroidaceae, Burkholderiaceae, Carnobacteriaceae, Clostridiaceae, Comamonadaceae, Enterobacteriaceae, Enterococcaceae, Flavobacteriaceae, Lachnospiraceae, Lactobacillaceae, Leuconostocaceae, Listeriaceae, Moraxellaceae, Neisseriaceae, Pseudoalteromonadaceae, Pseudomonadaceae, Shewanellaceae, Streptococcaceae, Vibrionaceae y Xanthomonadaceae.* 

15

30

50

En más detalle, la invención permite la detección y distinción de bacterias del género: Acetobacteraceae Acetobacter, Acetobacteraceae Gluconacetobacter, Aeromonadaceae Aeromonas, Bacteriodaceae Bateroides, Burkholderiaceae Burkholderia, Carnobacteriaceae Carnobacterium, Clostridiaceae Clostridium, Comamonadaceae Comamonas, Comamonadaceae Delftia, Enterobacteriaceae Escherichia, Enterobacteriaceae Pantoea, Enterobacteriaceae Serratia, Enterococcaceae Enterococcus, Chryseobacterium, Flavobacteriaceae Flavobacterium, Flavobacteriaceae Myroides, Lachnospiraceae Butyrivibrio, Lactobacillaceae Lactobacillus, Lactobacillaceae Pediococcus, Leuconostocaceae Leuconostocaceae Weisella, Listeriaceae Listeria, Moraxellaceae Acinetobacter, Moraxellaceae Psychrobacter, Neisseriaceae Alysiella, Pseudoalteromonadaceae Pseudoalteromonas, Pseudomonadaceae Pseudomonas, Shewanellaceae Shewanella, Streptococaceae Lactococcus, Streptococaceae Streptococcus, Vibrionaceae Alivibrio, Vibrionaceae Photobacterium, Vibrionaceae Vibrio y Xantomonadaceae Xanthomonas.

El análisis metagenómico del ADN presente en una muestra puede proporcionar un análisis cuantitativo relativo de los diferentes microorganismos presentes. Sin embargo, en realizaciones preferidas, la cantidad de algunos, de cada uno de los microorganismos detectados, se normaliza y se expresa como un porcentaje de las unidades formadoras de colonias en la muestra. Esto puede ser importante en algunas realizaciones ya que las cantidades absolutas relativas de microorganismos en una muestra pueden no ser indicativas del potencial de deterioro de la muestra o del límite de vida útil. Por lo tanto, se puede cuantificar con precisión la calidad de una muestra de alimentos.

La normalización de la cantidad de microorganismos en una muestra se puede lleva a cabo determinando el porcentaje de microorganismos representado por al menos una unidad taxonómica operativa (OTU) en la muestra. Esto se puede combinar con la determinación del recuento de unidades formadoras de colonias (CFU) de la muestra y la normalización del porcentaje de organismos representados por dicha OTU en una proporción del recuento total de CFU viables de la muestra.

En algunas realizaciones se puede proporcionar una cuantificación adicional de ADN en la muestra, llevando a cabo una PCR cuantitativa específica de taxones (qPCR) en muestras después del análisis metagenómico. En tales realizaciones, los taxones elegidos para el análisis de qPCR son aquellos taxones de interés identificados por el análisis metagenómico. Se puede emplear cualquier forma de qPCR que use cualquier gen adecuado y cualquier proceso de detección y cuantificación. Por ejemplo, se puede amplificar el gen ARNr 16S en las pruebas de qPCR. Las diferentes pruebas de qPCR que se podrían emplear incluyen aquellas que implican un colorante intercalante y aquellas que implican un cebador o sonda indicador marcado. Por ejemplo, se puede realizar la qPCR usando una sonda de hidrólisis (por ejemplo, una sonda Taqman), una sonda de baliza molecular, un par de sondas de hibridación dual, un sistema de cebador de ampliflúor, un sistema de cebador escorpión, un sistema de luz sobre la extensión o un sistema de cebador Qzyme.

En algunas realizaciones se amplifica la región V2-V3 del ARNr 16S en el análisis metagenómico como parte de un fragmento más grande del gen ARNr 16S. Por ejemplo, en algunas realizaciones, se amplifica la región V1-V3.

En algunas realizaciones, se pueden usar uno o ambos cebadores que tienen secuencias que comprenden las secuencias de SEQ ID Nos 1 y/o 2 para amplificar la región V1-V3. Preferiblemente, se usa un par de cebadores que comprenden las secuencias de la SEQ ID Nº. 1 y la SEQ ID Nº. 2, respectivamente, para amplificar la región V1-V3. En algunas realizaciones, los cebadores consisten en las secuencias SEQ ID Nos. 1 y 2 respectivamente.

Tales cebadores se pueden modificar mediante la adición de adaptadores, secuencias clave, etiquetas o secuencias universales. En algunas realizaciones, al menos uno de los cebadores tiene la secuencia de SEQ ID Nº. 82. En algunas realizaciones, al menos uno de los cebadores como la secuencia de SEQ ID Nº. 83. En algunas realizaciones, se usa una pareja de cebadores que tienen las secuencias de las SEQ ID Nos. 82 y 83 respectivamente.

Con el fin de mejorar el poder analítico del análisis metagenómico de una muestra, se describen métodos en los que se reduce la amplificación de ADN plastídico o mitocondrial, y/o ADN seleccionado de microorganismos seleccionados. Se describe el uso de la fijación del ácido nucleico peptídico (PNA) en un método de análisis metagenómico de una muestra para reducir la amplificación de al menos uno de : i) ADN de cloroplasto presente en la muestra; ii) ADN mitocondrial presente en la muestra; o iii) ADN de uno o más microorganismos seleccionados que pueden estar presentes en la muestra.

La fijación del PNA puede comprender realizar un análisis metagenómico en presencia de un oligonucleótido de PNA que comprende una secuencia derivada de un gen de ARNr 16S de cloroplasto, preferiblemente una secuencia común a una pluralidad de genes de ARNr 16S.

El oligonucleótido de PNA puede compreder una secuencia común a al menos dos de, y, preferiblemente, a todas las secuencias de ARNr 16S de cloroplasto de las SEQ ID Nos 3 a 10, o común a al menos dos de y, preferiblemente, a todas las secuencias de ARNr 16S de cloroplasto de las SEQ ID Nos. 18 a 25.

5

15

- El oligonucleótido de PNA puede tener una secuencia no encontrada en las secuencias bacterianas de ARNr 16S de al menos uno de, y, preferiblemente, todas de las SEQ ID Nos. 11 a 16, o tiene una secuencia no encontrada en las secuencias bacterianas de ARNr 16S de al menos una de, y, preferiblemente, todas de las SEQ ID Nos. 26 a 31.
- El oligonucleótido de PNA puede comprender la secuencia de SEQ ID Nº. 17. Preferiblemente el oligonucleótido de PNA consiste en la secuencia de SEQ ID Nº. 17.
- El oligonucleótido de PNA puede comprender la secuencia de SEQ ID Nº. 32. Preferiblemente, el oligonucleótido de PNA consiste en la secuencia de SEQ ID Nº. 32.
- 20 El análisis metagenómico se puede llevar a cabo en presencia de una pareja de oligonucleótidos de PNA que comprenden o consisten en las secuencias de SEQ ID Nos. 17 y 32 respectivamente.
  - La fijación del PNA puede comprender llevar a cabo análisis metagenómico en presencia de un oligonucleótido de PNA que comprende una secuencia derivada de un gen mitocondrial de ARNr 18S, preferiblemente una secuencia común con una pluralidad de genes mitocondriales de ARNr 18S.
- El oligonucleótido de PNA puede comprender una secuencia común a al menos dos de, y, preferiblemente, de todas las secuencias mitocondriales de ARNr 18S de las SEQ ID Nos. 33 a 38.
  - El oligonucleótido de PNA puede tener una secuencia no encontrada en las secuencias de cloroplasto de ARNr 16S, o de las secuencias bacterianas de ARNr 16S de al menos una de y, preferiblemente todas las de las SEQ ID Nos. 39 a 47.
- 30 El oligonucleótido de PNA puede comprender la secuencia de SEQ ID Nº. 48, opcionalmente en donde dicho oligonucleótido de PNA consiste en la secuencia de SEQ ID Nº. 48.
  - En algunas realizaciones, la fijación del PNA comprende llevar a cabo análisis metagenómico en presencia de un oligonucleótido de PNA que comprende una secuencia derivada de un gen bacteriano de ARNr 16S, preferiblemente una secuencia común a una pluralidad de genes bacterianos de ARNr 16S.
- El oligonucleótido de PNA puede comprender una secuencia común a al menos dos de, y, preferiblemente a todas las secuencias bacterianas de ARNr 16S de las SEQ ID Nos. 49 a 61.
  - El oligonucleótido de PNA puede tener una secuencia no encontrada en las secuencias bacterianas de ARNr 16S de al menos una de y, preferiblemente de todas las de las SEQ ID Nos. 62 a 79.
- En algunas realizaciones, el oligonucleótido de PNA comprende la secuencia de SEQ ID Nº. 80, opcionalmente en donde dicho oligonucleótido de PNA consiste en la secuencia de SEQ ID Nº. 80.
  - El análisis metagenómico se puede llevar a cabo en presencia de cualquiera de dos, tres o cuatro de los oligonucleótidos de PNA descritos anteriormente, es decir, cualquiera de dos, tres o cuatro oligonucleótidos de PNA que comprenden o consisten en las secuencias de SEQ ID Nos. 17, 32, 48 o 80 respectivamente.
- La invención además está dirigida a la capacidad de distinguir la amplificación de ADN de microorganismos vivos y muertos en un análisis metagenómico de una muestra. La invención logra esto mediante el uso del colorante intercalante de monoazida de propidio que penetra en las células muertas en la muestra antes de la extracción de ADN, se intercala con el ADN de esas células muertas y previene la amplificación posterior. Por lo tanto, la invención proporciona en un aspecto adicional un método de análisis metagenómico de una muestra, en donde la monoazida de propidio (PMA) se añade a la muestra antes de la extracción del ADN con el fin de reducir la amplificación posterior de microorganismos no viables de ADN presentes en la muestra.

En todos y en cada uno de los usos de la fijación del PNA descritos en esta memoria o el uso del PMA como se describe en esta memoria, se puede llevar a cabo el análisis metagenómico de acuerdo con cualquier otra realización o aspecto de la invención descrita en esta memoria.

De acuerdo con otro aspecto de la presente invención, se proporciona un kit para el análisis metagenómico de una muestra de acuerdo con la reivindicación 11 en esta memoria.

Se describe un kit para el análisis metagenómico de una muestra que comprende uno o ambos cebadores que comprenden la secuencia de SEQ ID Nº. 1 y/o de SEQ ID Nº. 2, preferiblemente en donde los cebadores consisten en las secuencias de SEQ ID Nº. 1 y/o de SEQ ID Nº. 2.

En algunas realizaciones, los cebadores del kit se pueden modificar mediante la adición de un adaptador, secuencia clave, etiqueta o secuencia universal. Preferiblemente, los cebadores tienen las secuencias de las SEQ ID Nos. 82 y 83 respectivamente.

En algunas realizaciones, un kit de la invención comprende además un oligonucleótido de PNA que comprende la secuencia de SEQ ID Nº. 80.

En algunas realizaciones, el kit de la invención puede comprender además PMA.

15 En algunas realizaciones, el kit de la invención puede comprender además un reactivo para el análisis metagenómico de una muestra, por ejemplo, una muestra de comida o heces.

La invención se describirá ahora con más detalle con referencia a los siguientes Ejemplos ilustrativos y las figuras, en las que:

La Figura 1 muestra las nueve regiones hipervariables del gen ARNr 16S.

30

35

40

20 La Figura 2 muestra el contenido de información taxonómica a lo largo del gen completo de ARNr 16S.

La Figura 3 muestra la secuencia del gen de RNA ribosomal 16S de *Escherichia coli* (Número de acceso al Genebank AY804014.1, SEQ ID Nº. 81) con anotación de las frecuencias de polimorfismo a lo largo del reino bacteriano.

La Figura 4 muestra la estadística de cebador de ambos cebadores y el tamaño del producto amplicon y las secuencias de los cebadores directo e inverso (SEQ ID Nº. 1 y SEQ ID Nº. 2, respectivamente).

25 La Figura 5 muestra un diagrama de flujo de las etapas implicadas en el análisis metagenómico.

La Figura 6 muestra un alineamiento de las secuencias del ARN 16S de cloroplasto con varias secuencias de ARNr 16S bacteriano y la secuencia de una primera fijación de PNA. Las secuencias tituladas Cloroplasto 1 a Cloroplasto 8 son las SEQ ID Nos. 3 a 10 respectivamente. Las SEQ ID Nos. de las otras secuencias son: SEQ ID Nº. 11 de *Pseudomonas*; SEQ ID Nº. 12 de *Xanthomonas*; SEQ ID Nº. 13 de *E. coli*; SEQ ID Nº. 14 de *Lactococcus*; SEQ ID Nº. 15 de *Brochothrix*; SEQ ID Nº. 16 de *Artrhrobacter*. El oligonucleótido de PNA QP-PNAcup es la SEQ ID Nº. 17.

La Figura 7 muestra un alineamiento adicional de secuencias de ARN 16S de cloroplasto con varias secuencias de ARNr 16S bacteriano y la secuencia de una segunda fijación de PNA. Las secuencias tituladas Cloroplasto 1 a Cloroplasto 8 son las SEQ ID Nos. 18 a 25 respectivamente. Las SEQ ID Nos. de las otras secuencias son: SEQ ID Nº. 26 de *Pseudomonas*; SEQ ID Nº. 27 de *Xanthomonas*; SEQ ID Nº. 28 de *E. coli*; SEQ ID Nº. 29 de *Lactococcus*; SEQ ID Nº. 30 de *Brochothrix*; SEQ ID Nº. 31 de *Artrhrobacter*. El oligonucleótido de PNA QP-PNAcdn es la SEQ ID Nº. 32.

La Figura 8 muestra un alineamiento de secuencias de ARN 18S mitocondrial con varias secuencias de ARNr 16S bacteriano y la secuencia de una tercera fijación de PNA. Las SEQ ID Nos. de las secuencias mostradas son: SEQ ID Nº. 33 de *Mito-Oryza-sativa*; SEQ ID Nº. 34 de *Mito-Oryza-rufipogon*; SEQ ID Nº. 35 de *Mito-Bambusa-oldhamii*; SEQ ID Nº. 36 de *Mito-Triticum-aestivum*; SEQ ID Nº.37 de *Mito-S.cereale*; SEQ ID Nº. 38 de *Mito-Sorghum-bicolor*, Cloroplasto E1 a Cloroplasto E4 son las SEQ ID Nos. 39 al 42 respectivamente; SEQ ID Nº.43 de *E. coli*; SEQ ID Nº. 44 de *Lactococcus lactis*; SEQ ID Nº. 45 de *Weissella*; SEQ ID Nº. 46 de *Brochothrix thermosphacta*; SEQ ID Nº. 47 de *Staphylococcus*. El oligonucleótido de PNA QP-PNAm es la SEQ ID Nº. 48.

La Figura 9 muestra un alineamiento de secuencias de ARNr 16S de varias bacterias de los taxones lactococcus, junto con varias bacterias contaminantes y una cuarta fijación de PNA. Las SEQ ID Nos. de las secuencias mostradas son: SEQ ID Nos. 49 de Lactobacillus-delbrueckii-subs; SEQ ID Nos. 50 de Lactobacillus-delbrueckii-subs; SEQ ID Nos. 51 de Lactobacillus-amylovorus; SEQ ID Nos. 52 de Lactobacillus-acidophilus; SEQ ID Nos. 53 de Lactobacillus-amylolyticus; SEQ ID Nos. 54 de Lactobacillus-acetotolerans; SEQ ID Nos. 55 de Lactococcus-piscium; SEQ ID Nos. 56 de Lactococcus-plantarum; SEQ ID Nos. 57 de Lactococcus-chungangensis; SEQ ID Nos. 58 de Lactococcus-raffinolactis; SEQ ID Nos. 59 de Lactococcus-lactis-subsp-Hordn; SEQ ID Nos. 60 de Lactococcus-lactis-subsp-Lacti; SEQ ID Nos. 61 de Lactococcus-lactis-subsp-Cremo; SEQ ID Nos. 62 de Streptococcus-Thermophilus-19-5; SEQ ID Nos. 63 de Streptococcus-parauberis; SEQ ID Nos. 66 de Streptococcus-iniae; SEQ ID Nos. 67 de Streptococcus-dysgalactiae-ssp; SEQ ID Nos. 68

de Streptococcus-agalactiae; SEQ ID Nº. 69 de Streptococcus-equi; SEQ ID Nº. 70 de Streptococcus-oligofermentans; SEQ ID Nº. 71 de Enterococcus-faecalis; SEQ ID Nº. 72 de Lactobacillus-algidus; SEQ ID Nº. 73 de Lactobacillus-frumenti; SEQ ID Nº. 74 de Lactobacillus-panis; SEQ ID Nº. 75 de Lactobacillus-fermentum; SEQ ID Nº. 76 de Lactobacillus-oligofermentans; SEQ ID Nº. 77 de Lactobacillus\_plantarum; SEQ ID Nº. 78 de Brevibacterium-linens; SEQ ID Nº. 79 de Psychroflexus-sp. El oligonucleótido de PNA PNA Lactococcus es la SEQ ID Nº. 80.

La Figura 10 muestra el análisis metagenómico de muestras de filete tártaro.

La Figura 11 muestra las proporciones relativas de los taxones bacterianos principales (más del 1% de prevalencia) en muestras de filete tártaro.

La Figura 12 muestra una representación del recuento bacteriano relativo convertido de las OTUs en el recuento total de población. Solo son visibles los taxones cuya población alcanzó las 10.000 células por gramo. La barra en negrita indica el umbral de 6 logaritmos de CFUs por encima de los cuales sería notable la actividad de deterioro.

La Figura 13 muestra una comparación entre el contenido bacteriano de 3 probióticos con o sin tratamiento con PMA.

La Figura 14 muestra un análisis de un producto de pasta con el protocolo metagenómico estándar, con las 2 fijaciones de PNA específicas para evitar el ADN plastídico, con el PNA dirigido contra el ADN mitocondrial y finalmente con las 3 fijaciones de PNA juntas.

La Figura 15 muestra los perfiles bacterianos de 2 quesos obtenidos con y sin el uso de una sonda de fijación de PNA de *Lactococcus*.

La Figura 16 muestra la amplificación de ADN a partir de muestras con y sin PNA. En ambos, los bacillus que están presentes en alta concentración no se amplifican en el perfil metagenómico con la unión del diseño del PNA específico frente a una secuencia de bacillus específica.

La Figura 17 muestra la amplificación de ADN de muestras con y sin PNA. En ambos, los bacillus que están presentes en alta concentración no se amplifican en el perfil metagenómico con la unión del diseño del PNA específico frente a una secuencia de bacillus específica.

La Figura 18 muestra el Análisis A que muestra el resultado metagenómico de un producto de yogur sin ningún uso de PNA donde más del 98% de las secuencias provienen de Streptococcus thermophilus (94,9%) y lactobacillus delbrueckii (3,6%) dejando menos lugar para la observación de floras de contaminación real.

El Análisis B muestra el resultado metagenómico con el uso del PNA específico que bloquea la amplificación de cualquier ADN que se origine en Streptococcus thermophilus. En este caso, la segunda flora tecnológica está tomando la delantera con la presencia del 84,5% de las secuencias que se originan a partir de lactobacillus delbrueckii.

30 El Análisis C muestra el resultado metagenómico con el uso del PNA específico que bloquea la amplificación de cualquier ADN que se origna de lactobacillus delbrueckii. En este caso, la segunda flora tecnológica está tomando la delantera con la presencia del 98,6% de las secuencias que se oiginan a partir de streptococcus thermophilus.

El Análisis D muestra el resultado metagenómico con el uso del PNA específico que bloquea la amplificación de cualquier ADN qe se origina de ambas especies tecnológicas (streptococcus thermophilus y lactobacillus delbrueckii). Solo en este caso, la flora de interés es visible como resultado del análisis metagenómico del producto alimenticio.

La Figura 19 muestra una comparación de la flora total estimada mediante microbiología clásica y deducida mediante qPCR dirigida para *Leuconostoc* sp, *Lactobacillus* sp y *Lactococcus* sp.

La Figura 20 muestra (A): Estimación (en porcentaje) de las proporciones relativas de taxones principales mediante análisis metagenómico; (B): Estimación de cada concentración de taxón (en cfu/g) que usa la estimación de la flora total basada en la PCR cuantitativa.

#### **Ejemplos**

5

15

20

35

40

Materiales y métodos

Aislamiento de ADN

Se homogeneizan muestras de veinticinco gramos de producto cárnico durante 1 minuto en 225 ml en una bolsa de tempo (bioMérieux Basingstoke, Inglaterra, ref. 80015) con agua fisiológica estéril usando un aparato stomacher. Luego se usan 1,5 ml de la suspensión para la extracción de ADN genómico total usando una etapa de lisis casera antes del uso convencional del kit DNeasy Blood & Tissue (QIAGEN, Crawley, UK). Luego se evalúa la concentración de ADN mediante cuantificación fluorométrica de dsADN usando PicoGreen.

Análisis metagenómico descriptivo

20

40

-Selección del Amplicon y diseños de cebadores

Se ha aplicado ampliamente la secuenciación del gen de ARNr 16S independiente del cultivo para examinar la diversidad microbiana. Los genes de ARN ribosomal (ARNr) 16S bacteriano contienen nueve "regiones hipervariables" (V1-V9) (Figura 1) que demuestran una considerable diversidad de secuencia entre diferentes bacterias. Desafortunadamente, las regiones hipervariables de ARNr 16S exhiben diferentes grados de diversidad de secuencia, y ninguna región hipervariable es capaz de distinguir entre todas las bacterias. Desafortunadamente, las regiones hipervariables exhiben diferentes grados de diversidad de secuencia y ninguna región es capaz de distinguir entre todas las bacterias. Los genes de longitud completa de ARNr 16S (aproximadamente 1.500 pb) se pueden usar para la identificación taxonómica precisa en base a la diversidad de secuencia subyacente entre las diferentes especies bacterianas. Sin embargo, las actuales tecnologías de secuenciación de ADN de alto rendimiento solamente pueden producir fragmentos de ARNr 16S en lugar de genes de longitud completa. El desafío es obtener una representación de confianza de comunidades bacterianas a lo largo de la clasificación taxonómica de secuencias cortas de genes de ARNr 16S.

Los inventores han descubierto la región más apropiada para el análisis metagenómico de alimentos. Se analizó el contenido de información del ARNr 16S para la asignación bacteriana a nivel de especie para diferentes regiones 16S a través de los taxones alimentarios más frecuentes.

Para este propósito, las secuencias de referencia de la mayoría de los taxones bacterianos alimentarios se extrajeron de bases de datos abiertas (Silva) y cortadas en silicio en varios fragmentos que contenían las secuencias de una o dos regiones hipervariables contiguas. Después de comparar esos fragmentos de las bases de datos, se calcularon porcentajes de identificación taxonómica de las especies para cada región. Como se puede ver en la Figura 2, la región V2-V3 parece ser la más informativa con respecto a la flora común de descomposición de alimentos.

Dado el pequeño número de pares de bases contenidos entre V1 y V2 y su bajo nivel de conservación, el cebador directo se diseñó aguas arriba de V1 (Figura 3).

La presencia de polimorfismos en los cebadores seleccionados podría causar un fallo en la detección de algunas especies bacterianas y, en consecuencia, dar lugar a una imagen incompleta de la caracterización de la composición de la microbiota.

Para este propósito, se han impulsado diferentes análisis "in silico" (datos no mostrados) y han dado lugar a la degeneración de 2 bases en el cebador directo de 16S (Figura 3).

30 El diseño final del oligonucleótido incluyó adaptadores de secuenciación de titanio A o B de 454 Life Sciences (Roche Diagnostics, Vilvoorde, Bélgica) y una secuencia clave fusionada al extremo 5' de los cebadores diana específicos. Los identificadores multiplex (MIDs) solo se incluyen junto con los adaptadores A.

Como se ve en la Figura 3, se han degenerado dos bases debido al polimorfismo observado a través de los géneros (resultados no mostrados).

35 Construcción de librería genómica de 16S y pirosecuenciación

Las regiones bacterianas V1-V3 del gen de ARNr 16S se amplificaron mediante PCR usando un conjunto de cebadores de fusión caseros que dieron lugar a un amplicon de 625 pb de longitud. Para la química GS Junior Titanium, el cebador directo (5'-CCTATCCCCTGTGTGCCTTGGCAGTC<u>TCAG</u>GAGAGTTTGATYMTGGCTCAG-3') (SEQ ID Nº. 82) contiene el adaptador B, una secuencia clave (TCAG) y nuestro cebador directo bacteriano conservado (Roche, Basilea, Suiza). El cebador inverso (5'-CCATCTCATCCCTGCGTGTCTCCGAC<u>TCAG</u>NNNNNNNNNNNNCCGCGGGCTGCTGGCAC-3') (SEQ ID Nº. 83) contiene el adaptador A, una secuencia clave (TCAG), diez códigos de barras de bases (Ns) para distinguir las muestras y nuestro cebador bacteriano inverso conservado.

La mezcla de amplificación contenía 5 U de polimerasa de alta fidelidad FastStart (Roche Diagnostics, Vilvoorde, Bélgica), tampón de reacción de enzima 1x, 200 μM de dNTPs (Eurogentec, Lieja, Bélgica), 0,2 μM de cada cebador de fusión y ADN genómico en un volumen de 25 μl.

Las condiciones de PCR son las siguientes: 4 min a 94°C, 25 ciclos de desnaturalización (15 s a 94°C), alineamiento (45 s a 56°C) y extensión (60 s a 72°C), seguido de una elongación final (8 min a 72°C). Estas amplificaciones se realizaron en un aparato de sistema de gradiente Ep Master (Eppendorf, Hamburgo, Alemania).

Los productos de PCR de 625 nucleótidos se evalúan mediante electroforesis en gel y se purifican usando el kit AMPure (Agencourt Bioscience Corporation, Beverly, EE.UU.) para eliminar amplicones más cortos que 100 pb. Se recogieron cantidades iguales de cada uno de los productos de PCR y se amplificaron posteriormente mediante PCR de emulsión antes de la secuenciación. Luego se realiza la pirosecuenciación con el Secuenciador Junior Roche 454 GS (Roche, Basilea, Suiza) que usa el protocolo de pirosecuenciación masivamente en paralelo.

#### Análisis bioinformático

5

10

25

30

40

45

50

El procesamiento de imágenes y datos para la secuenciación de amplicones se realiza usando el paquete de software Genome Sequencer FLX System 2.3 (Roche, Basilea, Suiza). El programa Mothur se usa para la primera parte del análisis de las secuencias. Se descartan las secuencias con una longitud inferior a 450 bases. Se eliminan las secuencias con bases ambiguas u homopolímeros de más de diez nucleótidos y con una puntuación de calidad promedio inferior a 25 junto con las secuencias de marcador y de cebador. Las secuencias de muestras multiplexadas se asignan en función de la presencia de códigos de barras únicos asignados a cada muestra. Las secuencias que pasan el control de calidad están alineadas con la base de datos de alineamiento SILVA. Las secuencias quiméricas se detectan usando el comando quimera-slayer incluido en el paquete Mothur y se eliminan las quimeras potenciales. Las secuencias se pre-agrupan para reducir las unidades taxonómicas operacionales falsas producidas por secuencias erróneas. Se prepara una matriz de distancia, (distancia = 0,01) y se agrupan las secuencias en unidades taxonómicas operacionales (OTUs) usando el algoritmo de vecino promedio. Se requiere un umbral de confianza del 80% para la asignación del nivel de género con la Base de datos SILVA. Las OTU que representan menos del 0,01% del número total de lecturas se consideran artefactos y se descartan.

En una segunda fase, las secuencias representativas de cada OTU se comparan con la base de datos microbiana de 16S del NCBI, por ejemplo, usando la herramienta de búsqueda de alineamiento local básico (BLASTN). Las asignaciones BLAST para cada OTU se asignan si la puntuación por defecto BLASTN es superior a 800. Las asignaciones de género obtenidas mediante Mothur y BLAST se comparan y se anotan como no clasificadas en un caso de desapareamiento. En casos de varios aciertos con una puntuación superior a 800, se prima el primer acierto con el recuento más alto para dar la especie bacteriana y se dan los 5 aciertos siguientes con una puntuación decreciente para obtener información complementaria sobre los resultados de BLAST.

Finalmente, se realiza la conversión y normalización de los datos. El número de secuencias de cada OTU se usa para calcular porcentajes. El porcentaje de cada OTU se convierte finalmente como una proporción del recuento viable total obtenido mediante análisis microbiológico clásico. La Figura 4 muestra el diagrama de flujo del análisis metagenómico de cualquier muestra.

La descripción completa del canal de flujo casero bioinformático se describe en el anexo 1 que se incorpora en esta memoria en su totalidad.

Análisis metagenómico semi-cuantitativo

Es de gran importancia la conversión de las proporciones de secuencia en unidades formadoras de colonias reales, especialmente para el sector alimentario. Para que un microorganismo induzca trastornos organolépticos, su concentración promedio debe alcanzar un mínimo de 10<sup>5\_6</sup> CFU por gramo de muestra. De hecho, decir que un organismo deteriorado representa incluso el 90 por ciento de las bacterias observadas no significa nada si está presente solo una pequeña cantidad de flora total en el producto. Por lo tanto, es importante la normalización de los números de secuencias en una estimación de log CFU.

35 Se realizan análisis microbiológicos usando un abordaje microbiológico clásico para la determinación del recuento bacteriano total y, en cierta medida, la enumeración de subpoblaciones bacterianas.

Se prepararon diluciones en serie de diez veces de las muestras homogeneizadas en agua con peptona y se plaquearon sobre el medio correspondiente. Se mide el recuento bacteriano total contando las unidades formadoras de colonia (CFUs) presentes en el agar de placa de recuento (PCA) (Oxoid, Dardilly, Francia) después de 48 h de incubación a 30°C. Los resultados se expresan en logaritmos de CFU por gramo de muestra.

El porcentaje de cada OTU se podría convertir entonces como una proporción del recuento viable total obtenido mediante análisis microbiológico clásico.

Como el análisis metagenómico es un método no basado en cultivo, el ADN derivado de bacterias muertas también se secuencia. La normalización de las secuencias en el recuento total de bacterias en crecimiento está introduciendo una subestimación. Para contrarrestar este sesgo se puede proporcionar una qPCR dirigida a diferentes taxones.

Discriminación entre bacterias muertas o vivas

Los análisis metagenómicos han revolucionado la detección microbiana. Sin embargo, el obstáculo para las técnicas basadas en el ADN es que el ADN en el entorno puede ser muy estable y puede persistir durante largos periodos de tiempo (días a semanas) después de la muerte celular. Como el ADN de microorganismos vivos o muertos se amplifica por PCR de la misma manera, esto dará lugar a una sobreestimación de las dianas microbianas. Uno de los requisitos previos para sacar conclusiones ecológicas derivadas de las huellas genéticas es que los perfiles comunitarios bacterianos reflejan la porción viva de la muestra de interés.

El tratamiento de la muestra con monoazida de propidio (PMA), un agente intercalante del ADN, antes de la extracción del ADN, evita satisfactoriamente la amplificación de las dianas de los microorganismos muertos.

La monoazida de propidio es un colorante impermeabilizante de membrana que penetra selectivamente en las células con membranas comprometidas, que se pueden considerar muertas. Una vez dentro de las células, el PMA se intercala en el ADN y se puede entre-cruzar covalentemente a el después de la exposición a la luz visible fuerte. Este complejo posterior inhibe fuertemente la amplificación por PCR adicional. Usando la PCR después del tratamiento con PMA, el análisis de las comunidades bacterianas se puede limitar teóricamente a células con membranas celulares intactas.

Se homogeneizan veinticinco gramos de muestra de alimento durante 1 minuto en 225 ml en una bolsa tempo (bioMérieux Basingstoke, Inglaterra, ref. 80015) con agua fisiológica estéril usando un aparato stomacher. Luego se centrifugan 1,5 ml de la suspensión. Después de descartar el sobrenadante, el sedimento se expone durante 10 minutos a tratamiento con PMA (50 µM) en una habitación oscura.

Después de una ligera exposición a la luz de 5 minutos, la solución se centrifuga de nuevo y el sedimento se mezcla directamente con la solución de lisis antes de la extracción del ADN usando el Kit DNeasy Blood & Tissue (QUIAGEN, Crawley, Reino Unido).

Eliminación de la co-amplificación del plástido y del ADN mitocondrial

5

10

25

30

35

45

50

- En el caso de muestras de alimentos preparados que contengan especias, hierbas, hongos, vegetales o frutas; cualquiera que sea el método de extracción usado para aislar el ADN a partir de estas comunidades bacterianas, el ADN microbiano extraído está generalmente contaminado con ADN de origen vegetal, en particular de cloroplastos y mitocondrias. El mismo problema se dará para cualquier análisis metagenómico 16S que esté encaminado a conocer acerca de microbiotas asociadas a plantas.
- Dado que los genes de ARNr 16S de cloroplasto y 18S de mitocondria comparten una alta similitud de secuencia con secuencias de ARNr 16S bacteriano, la contaminación con ADN de plantas plantea un serio desafío para la aplicación de métodos basados en PCR para perfilar y cuantificar poblaciones bacterianas en entornos vegetales.
  - Sin un tratamiento específico, no es raro secuenciar más del 95% del ADN mitocondrial y cloroplástico en lugar del bacteriano al que realmente se dirige, lo que es bastante irrelevante y no deseado teniendo en cuenta el precio de un análisis metagenómico.

El PNA (Ácido Nucleico Peptídico), un análogo del ADN creado artificialmente, fue inventado por los Drs. Nielsen, Egholm, Berg y Buchardt en 1991. El anillo de ribosa fosfato del ADN se reemplazó por el esqueleto de poliamida en el PNA. A pesar de un cambio estructural radical, el PNA es capaz de una unión específica de secuencia en forma de hélice a su secuencia de ADN o ARN complementario. Debido a su superior afinidad de unión y estabilidad química/biológica, el PNA se ha aplicado ampliamente en el campo de la biología (<a href="www.panagen.com">www.panagen.com</a>).

La técnica de fijación de PNA por PCR se desarrolló muy al principio para detectar SNP en baja abundancia. Por ejemplo, algunas células cancerosas mutantes pueden estar entre las células sanas en una biopsia de tejido. La fijación de PNA complementaria a la secuencia de tipo salvaje se hibrida específicamente con la de tipo salvaje y bloquea su amplificación por PCR a la vez que permite la amplificación de la secuencia mutante de emparejamiento imperfecto. Un único desemparejamiento de base es suficiente para discriminar la amplificación del tipo mutante del tipo salvaje.

Se han desarrollado dos fijaciones de PNA para bloquear la co-amplificación del ADN cloroplástico (Figuras 6 y 7).

Se ha desarrollado una tercera fijación de PNA para bloquear la co-amplificación del ADN mitocondrial (Figura 8).

El uso de esas 3 fijaciones de PNA en la mezcla de PCR permite amplificar principalmente el ADN 16S bacteriano deseado para el ensayo del perfil del microbioma.

Eliminación de taxones específicos no deseados excesivamente representados.

En algunos casos, la diversidad bacteriana puede estar oculta por un taxón excesivamente representado. Un ejemplo es la presencia de una gran cantidad de especies de *Lactococcus* en cualquier queso, ya que estos taxones se usan ampliamente como iniciadores en la producción de suero de mantequilla y queso. Se han diseñado sondas específicas de fijación de PNA para evitar la amplificación de cualquier bacteria que pertenezca a los taxones de *Lactococcus* con el fin de dar énfasis a la flora contaminante ambiental o a cualquier otra especie que contribuye a la textura, sabor u olor específicos del queso.

Sobre el mismo principio del diseño mitocondrial o plastídico, se encontó una secuencia de PNA entre nuestros cebadores metagenómicos V1-V3. La sonda de PNA se caracteriza por una secuencia conservada, por ejemplo, a lo largo de los taxones de *Lactococcus*, pero que muestra al menos un punto de mutación en comparación con las otras clases bacterianas observadas en productos de queso.

El alineamiento usado para la sonda de PNA de Lactococcus se representa en la Figura 9.

#### Resultados

15

30

40

50

#### Análisis metagenómico descriptivo

La presente invención se podría usar para una completa descripción de la flora total de cualquier muestra (alimentos, bebidas, heces, cualquier muestra biológica, suelo, agua o cualquier muestra ambiental).

Como un ejemplo de un análisis metagenómico descriptivo, se analizaron un conjunto de muestras de filete tártaro. De hecho, el filete tártaro es un plato popular de carne en Bélgica y en otros países europeos. Esta preparación de carne, debido a su naturaleza cruda, es altamente sensible a la descomposición bacteriana. Por lo tanto, una mejor comprensión del contenido bacteriano de este producto será esclarecedor para controlar el riesgo de descomposición. La metagenómica dirigida al ADN ribosómico 16S ha aparecido como una poderosa herramienta para estudiar la composición bacteriana de muestras de alimentos. El objetivo de este estudio es identificar las poblaciones bacterianas del filete tártaro de diferentes orígenes a lo largo de su vida útil y determinar las principales especies bacterianas de descomposición.

Los resultados del análisis metagenómico en el filete tártaro se muestran en la Figura 10. Cada carril representa el 100% de la composición bacteriana de una muestra. Cada color corresponde a una cierta cantidad de secuencias asignadas a ciertos taxones.

Se identificaron un total de 32 especies de bacteria dominantes en las muestras de filete tártaro mediante el análisis metagenómico. *Brochothrix thermosphacta*, *Lactobacillus algidus*, *Lactococcus piscium*, *Leuconostoc gelidum*, *Photobacterium kishitanii*, *Pseudomonas sp.* y *Psychrobacter urativorans* son las especies bacterianas más predominantes en las muestras y representan el 89% de las especies bacterianas detectadas.

Brochothrix thermosphacta y Lactobacillus algidus representan el 50% de todas las especies detectadas. Brochothrix thermosphacta se detecta principalmente en muestras de restaurantes (2,8-93,9%; n=4/6) y supermercados sin carnicería interna (0,3-83,2%; n=8/8). Lactobacillus algidus está presente en cada categoría, pero en baja proporción para restaurantes (2,3-5,5%; n=3/6). Pseudomonas sp., Brochothrix thermosphacta o Leuconostoc gelidum están presentes en alta proporción en algunas muestras en el Día 0. Estas bacterias son bien conocidas por descomponer el producto cárnico y las muestras que contienen estas bacterias en alta proporción son más susceptibles a descomponerse rápidamente. Algunas muestras (datos no mostrados) contienen un alto nivel de Streptococcus o Enterobacter como resultado probablemente de la contaminación cruzada durante el procesamiento de la carne.

Un alimento con una concentración superior a 6 log de CFU/g se considera generalmente en mal estado. Sin embargo, los resultados indican que algunas muestras tienen una concentración alrededor de este límite teórico y contiene una alta proporción de bacterias que no se consideran bacterias de descomposición como *Lactobacillus algidus*.

El análisis metagenómico es una herramienta poderosa para identificar y para medir las proporciones relativas de especies de bacterias dominantes en el filete tártaro como en cualquier otra muestra alimenticia o no alimenticia.

Algunas especies bacterianas podrían ser indicadores de la calidad de la carne. La identificación de algunas especies bacterianas a lo largo del tiempo proporciona información sobre la evolución del proceso de descomposición.

Por lo tanto, el análisis metagenómico podría ser una herramienta adicional para controlar y gestionar la calidad de la carne, así como el riesgo de descomposición.

Análisis metagenómico semi-cuantitativo

Los principales inconvenientes del enfoque metagenómico son la relatividad de las proporciones de las poblaciones bacterianas. El siguiente ejemplo muestra que vincular estas proporciones a un recuento bacteriano estimado validado es una herramienta real para calificar con precisión la calidad de una muestra de alimentos.

La Figura 11 muestra las proporciones relativas de bacterias encontradas en varias muestras de preparación de filete tártaro obtenidas de 2 restaurantes, 2 de vendedores de sándwiches y 2 de carnicerías. La secuenciación metagenómica y el análisis siguieron el mismo protocolo que el descrito anteriormente.

Las muestras están claramente pobladas con varias poblaciones con un dominio principal de las Bacterias de Ácido Láctico (LAB). El primer taxón es *Lactobacillus algidus*, una bacteria común que se encuentra con frecuencia en la carne de ternera almacenada en frío. Esta bacteria es homofermentaria y no se conoce por ninguna actividad de descomposición. Otra LAB es *Lactococcus piscium*, que nuevamente es una bacteria que no descompone.

Sin embargo, se sabe que otras poblaciones observadas se sabe que poseen actividad de descomposición cuando su población es lo suficientemente alta. Este es el caso de *Leuconostoc, sp., Weissella sp., Photobacterium phosphoreum* y *Brochotrhix thermosphacta*.

Nos gustaría centrarnos en 2 muestras: Restaurant-2 y Sandwich-2. Estas muestras poseen los niveles más altos de contaminación por *Leuconostoc*, *Weissella* y *Photobacterium* en términos de proporciones relativas.

En base a estas observaciones, se podría argumentar que ambas muestras no son de buena calidad debido a la presencia de bacterias de descomposición (*Leuconostoc* le da un sabor a queso y viscoso a la carne). Pero, de hecho, estas proporciones relativas no reflejan el verdadero nivel de contaminación bacteriana.

Con el fin de visualizar los resultados desde el punto de vista de un microbiólogo de alimentos, se convierten las poblaciones OTU en log de CFUs estimados, tomando lo siguiente como una afirmación arbitraria: que la proporción de una OTU con toda la población de OTU estaba relacionada con la misma proporción de log de CFUs con el log del recuento total de placas (Figura 12). Al elegir matrices invadidas activamente por bacterias, estas se consideraron activas y, por lo tanto, representadas correctamente por las colonias crecidas en placas. Esto no es una elección canónica, pero permite la selección de poblaciones de OTU con un tamaño de más de 100.000 células; un umbral por encima del cual se dice que da lugar a la descomposición para la mayoría de las bacterias que alteran los alimentos en el límite de la vida útil.

En la muestra restaurant-2, están presentes varias bacterias de descomposición con un nivel de población por encima de 1.000.000 células por gramo. Dicho nivel tiene claramente un notable efecto sensorial. Por el contrario, la muestra Sandwich-2 está de hecho poco contaminada. Como el recuento total de flora de bacterias mesofílicas es inferior a 10.000 células por gramo, no aparece en el gráfico. Por lo tanto, la población de descomposición, en el caso de que estén presentes, no tendrá un efecto sensorial en el momento del muestreo.

Esta combinación permite ver claramente el verdadero impacto de la bacterias presentes.

Discriminación entre bacterias muertas o vivas

5

10

15

25

35

La metagenómica es una herramienta extremadamente valiosa para el control de calidad de los probióticos. La metodología de la invención permite la validación del contenido determinado de bacterias y/o levaduras del producto. Como se describió anteriormente, añadiendo un tratamiento con PMA a la muestra antes de la extracción del ADN, se puede evaluar la viabilidad de los microorganismos determinados.

Como se ve en la Figura 13, el tratamiento con PMA modifica las proporciones de algunos grupos de bacterias. Comparando entre una muestra tratada con PMA (PxPMA) o no (Px), se puede ver que está disminuyendo la cantidad total de ciertas especies después de un tratamiento con PMA lo que significa que el análisis concluye positivamente sobre la presencia de dicho grupo bacteriano en el probiótico, pero subraya el hecho de que no está bien conservada la viabilidad de este grupo. De hecho, la disminución de la proporción indica que parte de esas bacterias están ya realmente muertas, lo que no es interesante, ya que el efecto de una ingesta de probióticos se deberá a la actividad lucrativa de las bacterias viables.

30 Eliminación de la co-amplificación del plástido y del ADN mitocondrial.

Dado que los genes de ARNr 16S de cloroplasto y 18S mitocondrial comparten una gran similitud de secuencia con las secuencias de ARNr bacteriano 16S, la contaminación con ADN de plantas plantea un serio desafío para la aplicación de métodos basados en la PCR para perfilar y cuantificar poblaciones bacterianas en entornos de plantas. Perfilar el microbioma de un producto alimenticio mezclado con hierbas, especias o cualquier vegetal es realmente desafiante sin un tratamiento específico que evite la amplificación de ADN cloroplástico o mitocondrial. Sin este tipo de tratamiento, las proporción de estos ADN "contaminantes" podría representar de hecho en algunos casos hasta el 99 por ciento de las lecturas obtenidas por la secuenciación de alto rendimiento. Teniendo en cuenta el coste de un análisis, secuenciar 9.900 secuencias de cada 10.000 que salen de las especias cuando se intenta analizar la diversidad bacteriana del producto no es definitivamente lo que se espera.

40 Se analiza un producto de este tipo en la fecha de producción, lo que significa normalmente con una baja cantidad de flora bacteriana. Sin ningún tratamiento, la mayoría de las secuencias de ADN provenían del ADN cloroplástico. Basándose en el alineamiento de ADN bacteriano y cloroplástico descrito anteriormente, se diseñaron 2 sondas de fijación de PNA para bloquear la amplificación de cualquier ADN cloroplástico durante la PCR específica de 16S. Usando esas sondas, no se amplificó el ADN de cloroplasto, pero la mayoría de las secuencias producidas fueron de ADN mitocondrial. Sobre las mismas bases, se diseñó después una sonda de fijación de PNA dirigida frente la amplificación de cualquier ADN mitocondrial. Combinando las 3 sondas de fijación de PNA, finalmente se pudo observar la diversidad bacteriana del producto (figura 14).

Sin esas sondas, la diversidad bacteriana de muchas muestras alimentarias y agrícolas es simplemente imposible de explorar.

50 Eliminación de taxones específicos sobre-representados.

En alimentos fermentados, el uso de un iniciador para inducir la fermentación a menudo da como resultado que los microorganismos que forman parte de la receta caracterizan una parte importante del ecosistema final del producto.

En caso de un problema de calidad que de lugar a un producto no conforme, es realmente importante ser capaz de identificar la diversidad microbiana a menudo oculta por los principales microorganismos iniciadores. En cuanto a los

productos vegetales, la invención está usando una sonda de fijación de PNA para bloquear la amplificación de esas floras "contaminantes" para poder ver la diversidad que hay detrás.

La Figura 15 representa los resultados de un análisis metagenómico de dos quesos en grano diferentes con o sin sonda PNA diseñada frente a la amplificación de los taxones de lactococcus que representan la mayor proporción de su flora microbiana.

El *Lactococcus* lactis se introduce a través del iniciador para iniciar la fermentación del queso. En ambos quesos, el perfil bacteriano está dominado por el género de *lactococcus* que impiden observar la diversidad subyacente. Como se puede ver claramente en la figura 15, el uso de la fijación de PNA diseñado para bloquear la amplificación de cualquier especie de *Lactococcus* tiene un efecto enorme en el perfil bacteriano observado. Cuando se usa PNALactococcus en los protocolos metagenómicos, el género de *Lactococcus* desapareció claramente a favor de la diversidad subyacente.

#### Conclusión

5

10

15

20

25

40

45

50

El análisis metagenómico ofrece una nueva herramienta para identificar los microorganismos presentes en los alimentos perecederos y su evolución en función de las condiciones ambientales. La información disponible a través del análisis metagenómico proporciona una clara imagen de la comunidad microbiana. Los estudios de ecología microbiológica han demostrado que el mundo bacteriano de los alimentos es mucho más diverso que el grupo cultivable de bacterias estudiadas por medios de cultivo. Para el análisis metagenómico, parecían en gran medida suficientes de 3 a 5 mil secuencias para identificar y caracterizar la microflora de descomposición, aunque esto podría cambiar según el objetivo y el presupuesto de un estudio particular. Muchos fabricantes de alimentos, agencias gubernamentales, minoristas, laboratorios de calidad de distribución e investigadores usan medios de cultivo generales sin conocer con precisión las comunidades bacterianas dentro de los alimentos. En comparación con los métodos basados en cultivos en medios selectivos y técnicas de cultivo independientes anteriores, el análisis metagenómico combinado con la enumeración de la flora psicotrófica proporciona información más valiosa y su uso se debe considerar como una técnica para el control de calidad, para determinar con precisión la vida útil o para desarrollar nuevos productos alimenticios.

La invención se refiere a una herramienta analítica global que es especialmente útil en la industria alimentaria para identificar y cuantificar la microbiota de descomposición responsable de las alteraciones organolépticas de los alimentos.

El término metagenómica se podría definir como "la aplicación de técnicas genómicas modernas al estudio de comunidades de organismos microbianos directamente en sus entornos naturales, evitando la necesidad de aislamiento y cultivo de laboratorio de especies individuales". La secuenciación convencional comienza con un cultivo de células idénticas como una fuente de ADN. Sin embargo, los primeros estudios revelaron que probablemente hay grandes grupos de microorganismos en muchos entornos que no se pueden cultivar y, por lo tanto, no se pueden secuenciar.

Para estudios ambientales, el interés en la metagenómica es analizar la diversidad bacteriana completa para determinar el tipo y la abundancia relativa de cualquier población presente en muestras heterogéneas, como el microbioma del suelo, marino o intestinal.

El análisis metagenómico de la presente invención se puede usar como una herramienta para la seguridad de los alimentos y/o para el control de calidad de los alimentos. Se describe un paquete de diferentes opciones analíticas que permiten que el análisis se centre solo en la flora de descomposición viable específica para un tipo particular de muestra de alimentos. Se pueden usar los métodos actuales si la muestra es : cruda o cocida; con o sin adición de especias o cualquier tipo de vegetales en la receta; con o sin el uso de un iniciador bacteriano para impulsar el proceso de fermentación; y/o con o sin flora protectora adicional para la extensión de la vida útil del producto.

A diferencia de las muestras ambientales, las muestras de alimentos están potencialmente sujetas a diferentes tratamientos como: tratamiento térmico, como cocción, esterilización, pasteurización.

Esos tratamientos térmicos matarán la mayor parte de la flora bacteriana presente en los alimentos, pero el ADN seguirá estando presente y se tendrá en cuenta en la descripción metagenómica de la posible causa de alteración del producto cocinado y podría inducir a una interpretación falsa del origen del deterioro.

Esos productos cocinados deberían estar más o menos libres de bacterias de descomposición, pero podrían estar sujetos a una contaminación posterior al tratamiento térmico.

#### Fermentación

Un cultivo iniciador se puede definir como una preparación microbiana de grandes cantidades de células de al menos un microorganismo que se añadirán a una materia prima para producir un alimento fermentado acelerando y dirigiendo su proceso de fermentación.

El uso de un cultivo iniciador acorta el proceso de fermentación y reduce el riesgo de fallo de fermentación.

Como consecuencia, si el producto requiere un análisis metagenómico de los alimentos fermentados (queso, kéfir, yogur, salami, vino, cerveza, masa madre,...) para verificar la contaminación o el deterioro de la flora, los métodos actuales pueden detectar secuencias de la flora de interés mediante el uso de PNA específicamente añadido en la reacción de PCR para bloquear la amplificación del ADN no deseado que se origina en la flora inicial.

Adición de flora para una conservación biológica de los alimentos

La adición de una gran cantidad de flora protectora, es decir, bacterias no asociadas a ningún proceso de descomposición en un tipo específico de muestra de alimentos contribuirá a disminuir el desarrollo de la flora de descomposición no intencionado.

La invención en este caso también dará la oportunidad de cancelar la amplificación del ADN que se origina en la flora protectora mediante el uso de PNA específicamente dirigido.

Adición de especias o vegetales en la receta

5

15

25

30

35

50

En los alimentos preparados con especias o vegetales añadidos en la receta, las secuencias de ADNr bacteriano 16S de descomposición a menudo se ocultan bajo un exceso de secuencias producidas por la co-amplificación del ADNr 16S mitocondrial y cloroplastídial.

La presencia de ADN mitocondrial y plastídico en ese tipo de muestras ha limitado la plena realización del potencial que ofrece la última generación de abordajes metagenómicos dedicados a la industria de alimentos y piensos.

En este caso la presente invención también dará también la oportunidad de cancelar la co-amplificación del ADN que se origina de especias y/o vegetales mediante el uso de PNA específicamente dirigido.

20 La presente invención proporciona la cuantificación de las bacterias de descomposición identificadas mediante el uso de nuestro análisis metagenómico.

El producto alimenticio contiene algunas bacterias que están implicadas en la descomposición, los llamados organismos de deterioro específicos (SSO) y otros que crecen sin causar cambios desagradables. Dependiendo de la matriz alimentaria, generalmente se supone que el proceso de descomposición comienza con una concentración de flora total superior a 5-6 log cfu/g. Los SSO pueden estar presentes a una baja concentración y, en ese caso, no son capaces de estropear el producto.

El resultado de un estudio metagenómico es la identificación de las diferentes bacterias observadas con sus proporciones relativas y, por lo tanto, solo es semi-cuantitativa.

Para interpretar correctamente los datos de la ultra-secuenciación, es crucial desarrollar un método paralelo para estimar la concentración de las diferentes especies bacterianas presentes en la muestra de alimentos.

Si se combina con los resultados de la enumeración de bacterias totales en medio de cultivo convencional, las proporciones relativas obtenidas por análisis metagenómico podrían dar una estimación de la proporción real de las diferentes especies observadas en términos de cfu por gramo de muestras.

Sin embargo, un inconveniente de los métodos microbiológicos convencionales radica en su incapacidad para detectar parte de la microflora existente presente en una matriz alimentaria lo que da lugar a una subestimación de los niveles de contaminación de microorganismos.

Para obtener un recuento preciso y fiable del perfil metagenómico, la presente invención se refiere al uso de PCR cuantitativa en tiempo real (qPCR) recientemente desarrollada de los diversos taxones predominantemente presentes en muestras de alimentos.

La presente invención se refiere, por lo tanto, a la estimación de la cantidad real de los diferentes taxones identificados en el perfil metagenómico basado en la cuantificación real de uno de ellos mediante qPCR lo que da una estimación de la concentración bacteriana mucho más precisa y fiable.

#### **PNA**

Una flora alimentaria tecnológica es una flora que aporta más valor al producto (textura, sabor, acidificación, propiedades nutricionales, estabilización y conservación). Esta flora a menudo se añade durante el proceso de fabricación del alimento desarrollado en proporciones para lograr el resultado deseado en el producto acabado. En la industria alimentaria, añadir flora útil es un proceso muy común.

Este uso podría ser un problema cuando el origen del deterioro se analiza mediante el uso de un análisis metagenómico de alimentos. De hecho, si un alimento se ha alterado, el propósito del análisis metagenómico será el de proporcionar una descripción de la flora que podría ser responsable de esta alteración. En el caso de cualquier uso

de flora tecnológica durante el proceso, su ADN podría estar presente en más del 95% evitando que se observe el ADN de la flora del deterioro.

Por lo tanto, en un análisis metagenómico de alimentos, es importante el uso de PNA específico que actúa contra la amplificación de cualquier ADN "contaminante" que pertenece a cualquier flora tecnológica específica.

#### 5 Bacilo PNA

20

25

A pesar de las cepas formadoras de esporas, se usa ampliamente el género bacillus como iniciador en la fermentación de alimentos. En África, están implicados en la fermentación de las judías el *Bacillus subtilis, Bacillus pumilus* y *Bacillus Licheniformis*. En Japón, Natto, un alimento saludable tradicional único, se elabora mediante un proceso de fermentación añadiendo bacterias beneficiosas, *Bacillus natto*, a la soja.

La presente invención se refiere al desarrollo de un PNA que bloquea la amplificación de cualquier especie de bacillus usado como o dentro de una flora tecnológica. Se ha verificado la precisión del diseño del PNA con el diseñador de PNA de "Life Technologies" (http://www6.appliedbiosystems.com/support/pnadesigner.cfm).

Tabla 1

Resultados de cálculo					
Secuencia	Lys-AGA CTG GGA TAA CTC CG				
Marcador N terminal	N: Ninguno				
Marcador C terminal	C: Ninguno				
Tm	[1 $\mu$ M] = 80°C [1 $\eta$ M] = 69°C [1 $\eta$ M] = 59°C				
Peso molecular	4782,27				
Longitud	Residuos: 18 Bases: 17				
% de Purinas	58,80%				
Extensión de Purinas	4				
Complementariedad	Moderada AGACTG <b>GGA</b> TAAC <b>TCC</b> G				
Recomendaciones de diseño	Diseño adecuado				

PNA de Streptococcus thermophilus + PNA de Lactobacillus delbrueckii

15 En la industria de procesamiento de la leche, se usan ampliamente los cultivos iniciadores y los fermentos particularmente en la fabricación de yogur para proporcionar un aspecto organoléptico particular (acidificación, sabor, textura, etc.).

De acuerdo con el Codex Alimentarius (A-11a de 1975), el yogur es un producto lácteo coagulado que se origina de la fermentación de leche fresca o de leche pasteurizada, con o sin otros ingredientes añadidos, gracias a la acción de *Lactobacillus delbrueckii* subesp. *bulgaricus* y de *Streptococcus thermophilus*. Para que el producto acabado tenga la designación de "yogur", esas 2 bacterias deben ser viables y abundantes en cantidad.

Sin embargo, la diversidad microbiana de tales productos puede estar enmascarada por la presencia de una gran proporción de esta flora tecnológica. De este modo, la investigación de la diversidad a través del uso de técnicas moleculares se puede ver obstaculizada por la muy alta concentración de estas dos floras tecnológicas. Por lo tanto, es necesario encontrar o desarrollar una técnica adecuada para sortear este problema. La manera más fácil de abordar este problema es la exclusión a nivel analítico de la flora tecnológica para que se pueda detectar otra flora presente a niveles más bajos y proporcionar un mapeo más completo de la alteración microbiana del producto. El aspecto negativo de este enfoque es que la mayoría (a veces > 99%) de las secuencias generadas provendrán de esas 2 bacterias y, por lo tanto, serán irrelevantes para explorar la alteración del producto.

Otra forma es bloquear la amplificación de ADN específica de esas 2 bacterias añadiendo 2 moléculas de PNA en la reacción de PCR.

### Diseño de PNA de Streptococcus thermophilus

La precisión del diseño se ha verificado con el diseñador de PNA de "Life Technologies" (http://www6.appliedbiosystems.com/support/pnadesigner.cfm).

Tabla 2

Resultados de cálculo					
Secuencia	Cys-ACC CTG CCT TGT AGC GGG				
Marcador N terminal	N: Ninguno				
Marcador C terminal	C: Ninguno				
Tm	[1 $\mu$ M] = 84°C [1 $n$ M] = 74°C [1 $p$ M] = 64°C				
Peso molecular	5015,5				
Longitud	Residuos: 19 Bases: 18				
% de Purinas	50,00%				
Extensión de Purinas	3				
Complementariedad	Baja AACCTGCCTTGTAGCGGG				
Recomendaciones de diseño	Diseño adecuado				

#### 5 Diseño de PNA de Lactobacillus delbrueckii

La precisión del diseño se ha verificado con el diseñador de PNA de "Life Technologies" (http://www6.appliedbiosystems.com/support/pnadesigner.cfm).

Tabla 3

Resultados de cálculo					
Secuencia	Lys-TAA CAA CAT GAA TCG CAT				
Marcador N terminal	N: Ninguno				
Marcador C terminal	C: Ninguno				
Tm	[1 $\mu$ M] = 74 $^{\circ}$ C [1 $\eta$ M] = 65 $^{\circ}$ C [1 $\eta$ M] = 56 $^{\circ}$ C				
Peso molecular	5000,57				
Longitud	Residuos: 19 Bases: 18				
% de Purinas	55,60%				
Extensión de Purinas	3				
Complementariedad	Moderada TAACAA <b>CATG</b> AATCGAT				
Recomendaciones de diseño	Diseño adecuado				

El uso de PCR cuantitativa para deducir la flora total y los datos metagenómicos.

En los métodos de la técnica anterior, las proporciones relativas obtenidas mediante análisis metagenómico se han combinado con la enumeración de la flora total a partir de la microbiología clásica. Esto permite una estimación de la cantidad de los principales microorganismos presentes en una muestra de alimentos.

Sin embargo, estos métodos originan algunos resultados sesgados ya que no se pueden cultivar numerosos microorganismos. Los datos de enumeración, por lo tanto, son ampliamente desestimados.

Para obtener una enumeración precisa y fiable, es importante elaborar una técnica alternativa a la microbiología clásica mediante PCR cuantitativa para detectar y cuantificar algunos taxones principales a partir de los alimentos.

La lista de taxones para identificar mediante qPCR se ha obtenido a partir de análisis metagenómicos previos de datos en varias muestras de alimentos. Estos taxones se eligieron en función de su frecuencia de aparición y su impacto en las cualidades organolépticas de los alimentos.

Los 7 taxones principalmente presentes en los alimentos perecederos clásicos seleccionados son:

- Lactobacillus sp.
- Lactococcus sp.
- Leuconostoc sp.
- 15 Psychrobacter sp.

5

10

20

- Pseudomonas sp.
- Brochohtrix sp.
- Photobacterium sp.

Todos los genes diana usados para las 7 pruebas de qPCR pertenecen a los genes conservados de "mantenimiento", presentes en una sola copia en el genoma bacteriano, una característica importante para el método de cuantificación, que permite el diseño de cebadores comunes de "género" y sondas de hidrólisis que permiten la estimación de la proporción relativa de una mayoría de las especies incluidas en un mismo género bacteriano (tabla 1).

Tabla 4: Listado de cebadores y sondas diseñados para las pruebas de qPCR que permiten la estimación de la proporción relativa de 7 taxones principalmente presentes en alimentos perecederos clásicos:

Género bacteriano diana	Gen diana	Cebadores	Secuencia		
		Lactobacillus-Tuf-F2	5'-GCYCACGTWGAATAYGAAAC-3'		
Lactobacillus sp	tuf	Lactobacillus-Tuf-R2	5'-CGDACTTCCATTTCAACYAAGTC-3'		
		Lactobacillus-Tuf-FAM1	5'-TGTGGCATWGGRCCATCAGTTGC-3'		
		Lactococcus-RecA-F2	5'-GCCGAAATYGATGGYGAAAT-3'		
Lactococcus sp	rpoA	Lactococcus-RecA-R2	5'-CAACTTTTCACGCAATTGGTTG-3'		
		Lactococcus-RecA-FAM4	5'-TGATGTCWCAAGCYATGCGTAAAC-3'		
	fus	Leuconostoc-Fus-F1	5'-TTCTTGTTCCATGAAATCCATTTG-3'		
Leuconostoc sp		Leuconostoc-Fus-R1	5'-GAATACCCACTAGAWCGTACAC-3'		
·		Leuconostoc-Fus-FAM1	5'-TGTGTTTCACCAATTTTGTGAATTTTACC-3'		
		photobacterium-rpoA-F1	5'-AATGCCAGGTTGTGCTG-3'		
Photobacterium sp	rpoA	photobacterium-rpoA-R1	5'-GACTTGTTCAGAGTWAGAATWACTTC-3'		
,		photobacterium-rpoA- FAM1	5'-ATCGAYGGTGTGTTACATGAGTACA-3'		
		Pseudo-rpo-F2	5'-GGCGTKATCGAYTCSGT-3'		
Pseudomonas sp	rpoA	Pseudo-rpo-R2	5'-CAGMGGRCGCTGGTTGATG-3'		
		Pseudo-rpo-FAM2	5'-TCGYGTTGCYGAYGACGA-3'		

Género bacteriano diana	Gen diana	Cebadores	Secuencia
		Carnobacterium-rpoA-F1	5'-ATTGGYGTATTACCAGTCGA-3'
Carnobacterium sp	rpoA	Carnobacterium-rpoA-R1	5'-AACCATCTGCCCATACATC-3'
	'	Carnobacterium-rpoA-FAM1	5'-CGATTTACACCCCAGTTAGTCGT-3'
Brochothrix sp	tuf	Brochothrix-tuf-F1	5'-CAGTACCTTCTGGTAACGTG-3'
		Brochothrix-tuf-R1	5'-ACTTCTTTCACTGCAGAAGTATAC-3'
		Brochothrix-tuf-FAM	5'- TATTATCTAAAGAAGAGGGTGGACGTCATA- 3'

#### Protocolo de PCR convencional

La PCR en tiempo real se realizó usando el sistema LightCycler 480 (Roche, Basilea, Suiza). Las mezclas de reacción de PCR se colocaron en un volumen final de 12  $\mu$ l que contenía 6  $\mu$ l de mezcla maestra de sonda LC480 (Roche, Basilea, Suiza), 2  $\mu$ l de ADN molde (a 5  $ng/\mu$ l), 0,25  $\mu$ l de pareja de cebadores (10  $\mu$ M cada uno), 0,125  $\mu$ l de sonda Taqman (10  $\mu$ M). Las condiciones de reacción incluyeron la etapa de iniciación durante 10 min a 95°C, seguida de 40 ciclos de 15 s a 95°C y 1 min a 60°C. El sistema a tiempo real se suministra con el software de Lightcycler 480 versión 1.5 que usa algoritmos únicos de Roche para un análisis de datos automatizado altamente preciso y robusto. Las diluciones en serie (número de copias de 106 a 1) de ADN estándar se usan para determinar el número de bacterias. Se usó la media del Umbral de Ciclo (CT) en las tres repeticiones con el fin de estimar la carga de poblaciones de bacterias diana presentes en la muestra.

#### Prueba de especificidad y sensibilidad

Se probó la especificidad de cada género de qPCR en especies bacterianas cercanas que pueden estar presentes en los alimentos para verificar si cada prueba no interactúa con otras especies bacterianas filogenéticamente cercanas (tabla 5).

En la prueba de sensibilidad de los cebadores y sondas específicos, se examinaron las amplificaciones por PCR entre cebadores específicos y diluciones de diez en serie de ADN aislados del cultivo puro de 3 especies diana que pertenecen al género bacteriano diana que varía de 10<sup>6</sup> a 10 números de copia. Se construyeron las curvas estándar para los 6 sistemas de detección usando el valor de Cp obtenido de la concentración de ADN correspondiente.

Tabla 5: Prueba de sensibilidad de validación de la qPCR de género (A); prueba de especificidad (ND = no detectado).

### 20 (A)

10

	Números de copia de ADN probado	Valor Cp promedio ± SD para Brochothrix sp Brochotrix thermosphacta			
	1,00E+06	19,32 ± 0,04			
	1,00E+05	23,46 ± 0,06			
Diluciones	1,00E+04	27,04 ± 0,29			
seriadas de 10 veces	1,00E+03	$31,09 \pm 0,09$			
de ADNs	1,00E+02	35,27 ± 0,55			
	1,00E+01	39 ± 0,9			
	1,00E+00	ND			
Dovémentos	eficiencia	2,014			
Parámetros de regresión	pendiente	-3,29			
lineal	Punto de corte Y	38,78			

	Números de copia de ADN probado	Valor Cp promedio ± SD para Carnobacterium sp <i>P. angustum</i>		
	1,00E+06	19,05 ± 0,22		
Diluciones seriadas de 10 veces	1,00E+05	22,50 ± 0,23		
	1,00E+04	25,53 ± 0,13		
	1,00E+03	29,41 ± 0,07		
de ADNs	1,00E+02	32,57 ± 0,11		
	1,00E+01	36,26 ± 0,75		
	1,00E+00	38,5 ± 1,2		
Parámetros	eficiencia	1,959		
de regresión	pendiente	-3,425		
lineal	Punto de corte Y	39,6		

	Números de copia de ADN probado		Cp promed Carnobacte C. maltaror	·				
	1,00E+06	18,05 ± 0,011						
	1,00E+05	21,67 ± 0,08						
Diluciones seriadas de 10 veces de ADNs	1,00E+04		25,27 ± 0,04					
	1,00E+03		28,69 ±	0,03				
	1,00E+02		31,8 ±	0,1				
	1,00E+01		34,28 ±	0,68				
	1,00E+00		38 (1/	/3)				
Parámetros	eficiencia		1,90	7				
de regresión	pendiente		-3,50	6				
lineal	Punto de corte Y		39,4	7				
	Números de copia	Valor	Cp promed Leuconos	dio ± SD para stoc sp				
	de ADN probado	L. citreum	L. gelidum	L. mesenteroides				
	1,00E+06	18,52 ± 0,05	17,52 ± 0,02	16,89 ± 0,13				
	1,00E+05	21,84 ± 0,05	21,08 ± 0,12	20,7 ± 0,02				
Diluciones	1,00E+04	25,56 ± 0,17	24,33 ± 0,13	23,99 ± 0,04				
seriadas de 10 veces de ADNs	1,00E+03	28,52 ± 0,08	27,67 ± 0,13	27,44 ± 0,13				
	1,00E+02	31,06 ± 0,09	30,51 ± 0,18	30,33 ± 0,26				
	1,00E+01	33,7 ± 0,14	32,55 ± 0,19	31,8 ± 0,29				
	1,00E+00	ND	ND	ND				
Dovámatus	eficiencia	1,997	1,997	1,944				
Parámetros de regresión	pendiente	-3,33	-3,382	-3,464				
lineal	punto de corte Y	38,56	37,85	37,83				

	Números de copia		Ĺ	p promed actobaci <i>maltaror</i>	llus s	p .	
	de ADN probado	L. acidofilus	s	L. sakei		L. casei	
	1,00E+06	19,01 ± 0,12		20,5 0,12		17,79 ± 0,13	
	1,00E+05	22,45 ± 0,13			±	21,45 ± 0,1	
Diluciones	1,00E+04	25,82 ± 0,15		27,31 0,04		24,8 ± 0,05	
seriadas de 10 veces	1,00E+03	29,14 ± 0,1		30,36 0,34		27,88 ± 0,21	
de ADNs	1,00E+02	32,47 ± 0,44		33,76 1,04		31,33 ± 0,16	
	1,00E+01	36,43 ± 0,73		35,43 1,17		33,39 ± 0,83	
	1,00E+00	38,32 ± 0,2		38,3 (1/3)		ND	
Parámetros	eficiencia	1,99	1,99		3	2,05	
de regresión	pendiente	-3,346		-3,364		-3,2	
lineal	Punto de corte Y	39,18		40,7		36,95	
	Números	Valor Cp promedio ± SD para Lactococcus sp					
	de copia de ADN probado	L. raffinol actis	L	L. lactis lacus		L. lactis cremoris	
	1,00E+06	16,9 ± 0,12	18,18 ± 0,01		18,26 ± 0,09		
	1,00E+05	20,25 ± 0,07	2	21,54 ± 0,13	21,75 ± 0,05		
Diluciones	1,00E+04	23,67 ± 0,07	2	24,81 ± 0,12	25,23 ± 0,13		
seriadas de 10 veces de ADNs	1,00E+03	26,77 ± 0,05	12	28,18 ± 0,11		27,81 ± 0,1	
de ADNS	1,00E+02	30,13 ± 0,11	65	31,47 ± 0,36	32,33 ± 0,07		
	1,00E+01	33 ± 0,09		35 ± 0,19	34,49 ± 0,4		
	1,00E+00	ND		ND		ND	
Parámetros	eficiencia	2		2		1,954	
de regresión	pendiente	-3,299		-3,321		-3,438	
lineal	punto de corte Y	36,7		38,12		38,83	

(B)

15

		Valor Cp promedio ± SD					
Especies bacterianas cercanas probadas	Brochothrix sp	Carnobacteriu m sp	Leuconostoc sp	Photobacterium sp	Lactobacillus sp	Lactococcus sp	Pseudomonas sp
C. maltaromaticum	ND	17,78 ± 0,45	ND	ND	ND	ND	ND
Control negativo	ND	ND	ND	ND	ND	ND	ND
Extracción en blanco	ND	ND	ND	ND	ND	ND	ND
Leuconostoc gelidum	ND	ND	17,52 ± 0,02	ND	ND	ND	ND
Pseudomonas aeruginosa	ND	ND	ND	ND	ND	ND	19,71 ± 0,01
Pseudomonas fragi	ND	ND	ND	ND	ND	ND	20,5 ± 0,03
Brochothrix thermophacta	19,74 ± 0,02	ND	ND	ND	ND	ND	ND
Photobacterium angustum	ND	ND	ND	19,5 ± 0,22	ND	ND	ND
Lactobacillus sakei	ND	ND	ND	ND	21,8 ± 0,03	ND	ND
Lactobacillus acidophilus	ND	ND	ND	ND	19 ± 0,02	ND	ND
Lactobacillus greminis	ND	ND	ND	ND	20,06 ± 0,09	ND	ND
Lactococcus raffinolactis	ND	ND	ND	ND	ND	16,2 ± 0,09	ND
Lactococcus lactis cremoris	ND	ND	ND	ND	ND	18,26 ± 0,09	ND
Lactococcus piscium	ND	ND	ND	ND	ND	ND	ND
Lauconostoc citrium	ND	ND	18,52 ± 0,05	ND	ND	ND	ND
Lactobacillus salivarius	ND	ND	ND	ND	18,33 ± 0,31	ND	ND
Lactococcus lactis lactis	ND	ND	ND	ND	ND	20,86 ± 0,1	ND
Leuconostoc mesenteroides	ND	ND	18,05 ± 0,35	ND	ND	ND	ND
Lactococcus oligofermentans	ND	ND	ND	ND	ND	ND	ND
Serratia sp	ND	ND	ND	ND	ND	ND	ND
Enterobacter sp	ND	ND	ND	ND	ND	ND	ND
Pseudomonas azotoformans	ND	ND	ND	ND	ND	ND	20,14 ± 0,16
Pseudomonas veronii	ND	ND	ND	ND	ND	ND	19,55 ± 0,27
Pseudomonas poae	ND	ND	ND	ND	ND	ND	19,75 ± 0,16
Pseudomonas deceptioneensis	ND	ND	ND	ND	ND	ND	19,37 ± 0,26
Pseudomonas gessardii	ND	ND	ND	ND	ND	ND	20 ± 0,09

Correlación entre la microbiología clásica, metagenómica dirigida y datos cuantitativos: ejemplo sobre muestras de productos alimenticios reales.

Se analizaron 6 matrices contaminadas naturalmente de diferentes orígenes (pudin blanco, crepes, hamburguesa, jamón, pasta, queso) por microbiología, análisis metagenómico y PCR cuantitativa para estimar la proporción de algunos taxones principales (*Carnobacterium* sp, *Leuconostoc* sp, *Photobacterium* sp, *Brochothrix* sp, *Pseudomonas* sp, *Lactococcus* sp y *Lactobacillus* sp). Entre las 7 pruebas de taxones en qPCR, se detectan 3 en todas las 6 muestras de alimentos (*Leuconostoc* sp, *Lactococcus* sp y *Lactobacillus* sp). Por lo tanto, la flora bacteriana total se podría deducir usando estos datos de qPCR. La flora total estimada mediante microbiología clásica siempre se estima erróneamente en comparación con la flora total deducida por qPCR (figura 19). El método de qPCR permite estimar con mayor precisión la flora bacteriana total (incluidas las bacterias cultivadas o no).

Esta deducción de la flora total por el método de qPCR permitirá cuantificar con mayor precisión todos los taxones identificados por el análisis metagenómico (figura 20). La figura 20 (A) muestra el perfil bacteriano obtenido por análisis metagenómico para las 6 muestras de alimentos. Estos análisis no permiten estimar la concentración de cada taxón denominado en unidades formadoras de colonias por gramo de matriz (cfu/g). La estimación de la flora total por PCR cuantitativa combinada con el porcentaje de lecturas del análisis genómico permite obtener una estimación de cada concentración de taxón en unidades formadoras de colonias por gramo de matriz (Figura 20 (B)).

La invención no está limitada por los ejemplos o figuras proporcionados en esta memoria. El experto es capaz de concebir alternativas para las diversas secuencias, herramientas y métodos mencionados en esta especificación. La invención está limitada solamente por el alcance de las reivindicaciones.

#### Listado de secuencias

```
<110> Université de Liege and Quality Partner s.a.
     <120> Análisis metagenómico de muestras
     <130> Daub2013-54
      <150> EP13199610.0
     <151> 24-12-2013
10
     <150> EP14150903.4
      <151> 13-01-2014
     <160> 107
      <170> PatentIn version 3.5
     <210> 1
15
     <211> 21
      <212> ADN
      <213> Secuencia Artificial
      <220>
     <223> Cebador
20
     <400> 1
     gagagtttga tymtggctca g
                                          21
      <210> 2
     <211> 17
<212> ADN
25
     <213> Secuencia Artificial
      <220>
      <223> Cebador
      <400> 2
                                       17
     accgcggctg ctggcac
30
     <210> 3
      <211> 82
      <212> ADN
     <213> Secuencia Artificial
     <220>
35
     <223> Secuencia de consenso
      <400> 3
      gagagttcga tcctggctca ggatgaacgc tggcggcatg cttaacacat gcaagtcgga
                                                                                          60
                                                                                          82
      cgggaagtgg tgtttccagt gg
      <210> 4
             82
      <211>
40
      <212> ADN
      <213> Secuencia Artificial
      <220>
      <223> Secuencia de consenso
      <400> 4
```

	gagagt	ttcga	tcctggctca	ggatgaacgc	tggcggcatg	cttaacacat	gcaagtcgga	60
	cggga	agtgg	tgtttccagt	gg				82
5	<210> <211> <212> <213>	82 ADN	ncia Artificial					
	<220> <223>	Secue	ncia de consens	60				
	<400>	5						
	gagagt	tttga	tcatggctca	ggatgaacgc	tggcggcatg	cttaacacat	gcaagtcgga	60
	cgggaa	agtgg	tgtttccagt	gg				82
10	<210> <211> <212> <213>	ADN	ncia Artificial					
15	<220> <223>	Secue	ncia de consens	60				
	<400>	6						
	gagagt	tttga	tcatggctca	ggatgaacgc	tggcggcatg	cttaacacat	gcaagtcgga	60
	cggga	agtgg	tgtttccagt	gg				82
20	<210> <211> <212> <213>	82 ADN	ncia Artificial					
	<220> <223>	Secue	ncia de consens	60				
	<400>	7						
	gagagt	tttga	tcatggctca	ggatgaacgc	tggcggcatg	cttaacacat	gcaagtcgga	60
25	cggga	agtgg	tgtttccagt	gg				82
	<210> <211> <212> <213>	82 ADN	ncia Artificial					
30	<220> <223>	Secue	ncia de consens	60				
	<400>	8						
	gagagt	tttga	tcatggctca	ggatgaacgc	tggcggcatg	cttaacacat	gcaagtcgga	60
	cgggaa	agtgg	tgtttccagt	gg				82
35	<211> <212>	ADN	ncia Artificial					
	<220> <223>	Secue	ncia de consens	60				
40	<400>	9						

	gagagtttga	tcatggctca	ggatgaacgc	tggcggcatg	cttaacacat	gcaagtcgaa	60
	cgggaagtgg	tgtttccagt	gg				82
5	<210> 10 <211> 82 <212> ADN <213> Secue	ncia Artificial					
	<220> <223> Secue	ncia de consens	SO				
	<400> 10						
	gagagtttga	tcatggctca	ggatgaacgc	tggcggcatg	cttaacacat	gcaagtcgaa	60
	cgggaagtgg	tgtttccagt	gg				82
10	<210> 11 <211> 94 <212> ADN <213> Pseud	lomonas					
	<400> 11						
	gagagtttga	tcatggctca	gattgaacgc	tggcggcagg	cctaacacat	gtcaagtcga	60
15	gcggatgaga	agagcttgct	cttcgattca	gcgg			94
	<210> 12 <211> 101 <212> ADN <213> Xantho	omonas					
20	<400> 12						
	gagagtttga	tcatggctca	gagtgaacgc	tggcggcagg	cctaacacat	gcaagtcgaa	60
	cggcagcggg	taggaagctt	gcttcctatg	ccggcgagtg	g		101
25	<210> 13 <211> 99 <212> ADN <213> Esche	richia coli					
	<400> 13						
	gagagtttga	tcatggctca	gattgaacgc	tggcggcagg	cctaacacat	gcaagtcgaa	60
	cggtaacagg	aagcagcttg	ctgtttcgct	gacgagtgg			99
30	<210> 14 <211> 112 <212> ADN <213> Lactor	coccus					
	<400> 14						
	gagagtttga	tcctggctca	ggatgaacgc	tggcggcgtg	cctaatacat	gcaagtcgaa	60
	cgaaacttct	ttatcaccga	gtgcttgcac	tcaccgataa	agagttgagt	gg	112
35	<210> 15 <211> 97 <212> ADN <213> Broche	othrix					
	<400> 15						

	gagagtttga	tcctggctca	ggacgaacgc	tggcggcgtg	cctaatacat	gcaagtcgaa	60
	cgaacggata	aagagcttgc	tcttttgaag	ttagtgg			97
5	<210> 16 <211> 91 <212> ADN <213> Arthro	bacter					
	<400> 16						
	cgaacggata aagagcttgc tcttttgaag ttagtgg  2210 > 16 2211 > 91 2212 > ADN 2213 > Arthrobacter  <400 > 16 gaaggtttga tcatggctca ggatgaacgc tggcggcgtg cttaacacat gcaagtcgaa 60 cgatgaacct cacttgtggg gggattagtg g 91  2210 > 17 2212 > ADN 2213 > Secuencia Artificial  2220 > 2233   Cebador  400 > 18 2210 > 18 2211 > 65 2212 > ADN 2213 > Secuencia Artificial  2220 > 223 > Cebador  400 > 18 ggagaagaaga caatgacggt atctggggaa taagcatcgg ctaactctgt gccagcagcc 6 gcggt 66 2210 > 19 2210 > 18 2210 > 18 2210 > 18 2210 > 65 2212 > ADN 2213 > Secuencia Artificial  2220 > 223 > Secuencia de consenso  400 > 18 ggagaagaag caatgacggt atctggggaa taagcatcgg ctaactctgt gccagcagcc 6 gcggt 66 2210 > 19 2210 > 65 2212 > ADN 2213 > Secuencia de consenso  400 > 19 ggagaagaag caatgacggt atctggggaa taagcatcgg ctaactctgt gccagcagcc 6 gcggt 66 2210 > 20 2223 > Secuencia de consenso  400 > 19 ggagaagaag caatgacggt atctggggaa taagcatcgg ctaactctgt gccagcagcc 6 gcggt 66 2210 > 20 2210 > 65 2212 > ADN 213 > Secuencia Artificial  2220 > 223 > Secuencia Artificial	60					
	cgatgaacct	cacttgtggg	gggattagtg	g			91
10	<211> 17 <212> ADN	encia Artificial					
		dor					
15		agt 17					
	<211> 65 <212> ADN	encia Artificial					
20		encia de consens	SO				
	<400> 18						
	ggagaagaag	caatgacggt	atctggggaa	taagcatcg	g ctaactctg	t gccagcagcc	60
	gcggt						65
25	<211> 65 <212> ADN	encia Artificial					
		encia de consens	60				
30	<400> 19						
	ggagaagaag	caatgacggt	atctggggaa	taagcatcg	g ctaactctg	t gccagcagcc	60
	gcggt						65
35	<211> 65 <212> ADN	encia Artificial					
	-	encia de consens	60				
	<400> 20						
	ggagaagaag	g caatgacggt	atctgggga	a taagcatcg	g ctaactct	gt gccagcagcc	60
	gcggt						65
40	√210× 21						

		65 ADN Secuencia Artificial	
5	<220> <223>	Secuencia de consenso	
	<400>	21	
	ggaga	agaag caatgacggt atctggggaa taagcatcgg ctaactctgt gccagcagcc	60
	gcggt		65
10	<210><211><211><212><213>		
	<220> <223>	Secuencia de consenso	
	<400>	22	
	ggaga	agaag caatgacggt atctggggaa taagcatcgg ctaactctgt gccagcagcc	60
15	gcggt		65
	<210> <211> <212> <213>	65	
20	<220> <223>	Secuencia de consenso	
	<400>	23	
	agaga	agaag caatgacggt atctggggaa taagcatcgg ctaactctgt gccagcagcc	60
	gcggt		65
25	<212>	24 65 ADN Secuencia Artificial	
		Secuencia de consenso	
30	<400>	24	
	ggaga	agaaa caatgacggt atctgaggaa taagcatcgg ctaactctgt gccagcagcc	60
	gcggt		65
35	<220>	65 ADN Secuencia Artificial Secuencia de consenso	
		agaaa caatgacggt atctgaggaa taagcatcgg ctaactccgt gccagcagcc	60
	acaat		65

	<210> <211> <212> <213>		omonas					
5	<400>	26						
	tggga	ggaag	ggcagtaagc	gaataccttg	ctgttttgac	gttaccgaca	gaataagcac	60
	cggct	aactc	tgtgccagca	gccgcggt				88
10	<210> <211> <212> <213>	88 ADN	omonas					
	<400>	27						
	gggga	agaaa	tcctgctggc	taatatccgg	cggggatgac	ggtacccaaa	gaataagcac	60
	cggct	aactt	cgtgccagca	gccgcggt				88
15	<212>		richia coli					
	<400>	28						
	gggga	ggaag	ggagtaaagt	taataccttt	gctcattgac	gttacccgca	gaagaagcac	60
	cggct	aactc	cgtgccagca	gccgcggt				88
20	<210> <211> <212> <213>	ADN	coccus					
	<400>	29						
	agaga	agaaa	gtgcgtgaga	gtaactgttc	acgtttcgac	ggtatctaac	cagaaagcca	60
	cggcta	aacta	cgtgccagca	gccgcggt				88
25	<210> <211> <212> <213>	88 ADN	othrix					
30	<222>	(34)(3	erística_nueva 34) , c, g, o t					
	<400>	30						
	agaga	agaac	atgggtgaga	gtaactgttc	accncttgac	ggtatctaac	cagaaagcca	60
	cggcta	aacta	cgtgccagca	gccgcggt				88
35	<210> <211> <212> <213>	79 ADN	bacter					
	<400>	31						

	agggta	agaag co	tgtctta	ag ggg	tcggtga	cggtaco	ctgc	agaagaagcg	ccggct	aact	60
	acgtg	ccagc ag	ccgcggt	;							79
5	<212>	32 17 ADN Secuencia	a Artificial								
	<220> <223>	Cebador									
	<400> arcaatga	32 acg gtatctg	1	7							
10	<210> <211> <212> <213>	-	iva								
15		33 g agcctgcg	gta gtattag	ıgta gttg	gtcggg taa	aag	45				
	<210> <211> <212> <213>	-	pogon								
20	<400> ctgtttgat	34 g agcctgcg	gta gtattag	ıgta gttg	gtcggg taa	aag		45			
25		35 45 ADN Bambusa	oldhamii								
		35 g agcctgcg	gta gtattag	ıgta gttg	gtcagg taa	aag	45				
30		36 45 ADN Triticum a	ıestivum								
	<400> ctgtttgat	36 g agcctgcg	gta gtattag	ıgta gttg	gtcagg taa	aag		45			
35	<210> <211> <212> <213>	37 45 ADN S. cereale	e								
		37 g agcctgcg	gta gtattag	ıgta gttg	gtcagg taa	aag	4	5			
40	<210> <211> <212> <213>		bicolor								
45		38 g agcctgcg	gta gtattag	ıgta gttg	gtcagg taa	aag	45				
	<210> <211> <212> <213>	39 46 ADN Secuencia	a Artificial								
50	<220>										

	<223>	Secuencia de consenso	
	<400> gcccgag	39 ggag gggctcgcgt ctgattagct agttggtgag gcaata	46
5	<210> <211> <212> <213>	ADN	
	<220> <223>	Secuencia de consenso	
10	<400> gcccgag	40 ggag gggctcgcgt ctgattagct agttggtgag gcaata	46
15	<210> <211> <212> <213>		
	<220> <223>	Secuencia de consenso	
	<400> gcccaag	41 ggag gggctcgcgt ctgattagct agttggtgag gcaata	46
20	<210> <211> <212> <213>		
25	<220> <223>	Secuencia de consenso	
	<400> gcccaag	42 ggag gggctcgcgt ctgattagct agttggtgag gcaata	46
30	<210> <211> <212> <213>	ADN	
	<400> tgccatco	43 gga tgtgcccaga tgggattagc ttgttggtgg ggtaacg	47
35	<210> <211> <212> <213>		
	<400> tatcactti	44 tg ggatggacct gcggcgcatt agcttgttgg tagggtaacg	50
40	<210> <211> <212> <213>	45 50 ADN weissella	
45	<400> tatcacta	45 ag agatggtccc gcggtgcatt agctagttgg taaggtaatg	50
	<210> <211> <212> <213>		
50	<400>	46 ytg agatggaccc gegetggatt agetagttgg taaggtaatg	50

	<210> <211> <212> <213>		
5	<400> tatcactta	47 at agatggaccc gcgccgtatt agctagttgg taaggtaacg	50
10	<210> <211> <212> <213>		
	<220> <223>	Cebador	
		48 ga gcctgcgt 18	
15	<210> <211> <212> <213>	•	
20		49 caa ggcaatgatg cgtagccgag ttgagagact gatcggcca	49
	<210> <211> <212> <213>		
25	<400> ggcctac	50 caa ggcaatgatg cgtagccgag ttgagagact gatcggcca	49
30	<210> <211> <212> <213>		
		51 caa ggcgacgatg catagccgag ttgagagact gatcggcca	49
35	<210> <211> <212> <213>	52 49 ADN Lactobacillus acidophilus	
	<400> ggcctac	52 caa ggcaatgatg catagccgag ttgagagact gatcggcca	49
40	<210> <211> <212> <213>	53 49 ADN Lactobacillus amyloticus	
	<400> ggcttace	53 caa ggcaacgatg catagccgag ttgagagact gatcggcca	49
45	<210> <211> <212> <213>		
50	<400> ggcttace	54 caa ggcaacgatg catagccgag ttgagagact gatcggcca	49
	<210>	55 49	

	<212> <213>	ADN Lactococcus piscium	
	<400> ggactac	55 ccaa ggcgatgata catagccgac ctgagagggt gatcggcca	49
5	<210> <211> <212> <213>		
10	<400> ggactac	56 ccaa ggcgatgata catagccgac ctgagagggt gatcggcca	49
	<210> <211> <212> <213>		
15	<400> ggactac	57 ccaa ggcgatgata catagccgac ctgagagggt gatcggcca	49
20	<210> <211> <212> <213>		
	<400> ggactac	58 ccaa ggcgatgata catagccgac ctgagagggt gatcggcca	49
25	<210> <211> <212> <213>		
	<400> ggctcac	59 caa ggcgatgata catagccgac ctgagagggt gatcggcca	49
30	<210> <211> <212> <213>		
	<400> ggctcac	60 caa ggcgatgata catagccgac ctgagagggt gatcggcca	49
35	<210> <211> <212> <213>	49	
40	<400> ggctcac	61 ccaa ggcgatgata catagccgac ctgagagggt gatcggcca	49
	<210> <211> <212> <213>	ADN	
45	<400> ggctcac	62 caa ggcgacgata catagccgac ctgagagggt gatcggcca	49
50	<210> <211> <212> <213>		
	<400>	63 caa ggcgatgata catagccgac ttgagagggt gatcggcca	49

	<210> <211> <212> <213>		
5	<400> ggctcac	64 ceta ggegaegata catageegae etgagagggt gateggeea	49
10	<210> <211> <212> <213>		
	<400> ggctcac	65 caa ggccacgata catagccgac ctgagagggt gatcggcca	49
15	<210> <211> <212> <213>		
	<400> ggctcac	66 caa ggcgacgata catagccgac ctgagagggt gatcggcca	49
20	<210> <211> <212> <213>		
	<400> ggctcac	67 caa ggcgacgata catagccgac ctgagagggt gatcggcca	49
25	<210><211><211><212><213>		
30	<400> ggctcac	68 caa ggcgacgata catagccgac ctgagagggt gatcggcca	49
	<210> <211> <212> <213>		
35	<400> ggcctac	69 caa ggcgacgata catagccgac ctgagagggt gaacggcca	49
40	<210> <211> <212> <213>		
	<400> ggctcac	70 ceta ggegaegata catageegae etgagagggt gateggeea	49
45	<210> <211> <212> <213>	71 49 ADN Enterococcus faecalis	
50	<220> <221> <222> <223>	característica_nueva (11)(11) n es a, c, g, o t	
	<220> <221> <222>	característica_nueva (13)(13)	

	<223>	n es a, c, g, o t		
	<400> ggctcac	71 ccaa ngncacgatg catagccgac ctgagagggt gatcggcca		49
5	<210> <211> <212> <213>			
	<400> ggccca	72 ccaa ggcaatgata cgtagccgac ctgagagggt gatcggcca		49
10	<210> <211> <212> <213>	73 49 ADN Lactobacillus frumenti		
15	<400> ggcttac	73 caa ggcgatgatg catagccgag ttgagagact gatcggcca		49
	<210> <211> <212> <213>			
20	<400> ggcttac	74 caa ggcaatgatg catagccgag ttgagagact gatcggcca	49	
25	<210> <211> <212> <213>	75 49 ADN Lactobacillus fermentum		
	<400> ggcctac	75 ccaa ggcgatgatg catagccgag ttgagagact gatcggcca		49
30	<212>	76 49 ADN Lactobacillus oligofermentans		
	<400> ggctcac	76 ccaa gacaatgata cgtagccgaa ctgagaggtt gatcggcca		49
35	<210> <211> <212> <213>	49		
		77 ccat ggcaatgata cgtagccgac ctgagagggt aatcggcca		49
40	<210> <211> <212> <213>			
45	<400> ggcctac	78 ccaa ggcgacgacg ggtagccggc ctgagagggc gaccggcca		49
	<210> <211> <212> <213>			
50	<400> ggcttac	79 cat ggcaacgata ggtaggggtc ctgagaggga gatccccca		49

<210> 80 <211> 18 <212> ADN <213> Secue	encia Artificial					
<220> <223> Cebao	dor					
<400> 80 gatgatacat ago	cgacc	18				
<210> 81 <211> 1501 <212> ADN <213> Esche	richia coli					
<400> 81 gagagtttga	tcatggctca	gattgaacgc	tggcggcagg	cctaacacat	gcaagtcgaa	60
cggtaacagg	aagcagcttg	cttctttgct	gacgagtggc	ggacgggtga	gtaatgtctg	120
ggaaactgcc	tgatggaggg	ggataactac	tggaaacggt	agctaatacc	gcataacgtc	180
gcaagaccaa	agagggggac	cttcgggcct	cttgccatcg	gatgtgccca	gatgggatta	240
gctagtaggt	ggggtaacgg	ctcacctagg	cgacgatccc	tagctggtct	gagaggatga	300
ccagccacac	tggaactgag	acacggtcca	gactcctacg	ggaggcagca	gtggggaata	360
ttgcacaatg	ggcgcaagcc	tgatgcagcc	atgccgcgtg	tatgaagaag	gccttcgggt	420
tgtaaagtac	tttcagcggg	gaggaaggga	gtaaagttaa	tacctttgct	cattgacgtt	480
acccgcagaa	gaagcaccgg	ctaactccgt	gccagcagcc	gcggtaatac	ggagggtgca	540
agcgttaatc	ggaattactg	ggcgtaaagc	gcacgcagcg	gtttgttaag	tcagatgtga	600
aatccccggg	ctcaacctgg	gaactgcatc	tgatactggc	aagcttgagt	ctcgtagagg	660
ggggtagaat	tccaggtgta	gcggtgaaat	gcgtagagat	ctggaggaat	accggtggcg	720
aaggcggccc	cctggacgaa	gactgacgct	caggtgcgaa	agcgtgggga	gcaaacagga	780
ttagataccc	tggtagtcca	cgccgtaaac	gatgtcgact	tggaggttgt	gcccttgagg	840
cgtggcttcc	ggagctaacg	cgttaagtcg	accgcctggg	gagtacggcc	gcaaggttaa	900
aactcaaatg	aattgacggg	ggcccgcaca	agcggtggag	catgtggttt	aattcgatgc	960
aacgcgaaga	accttacctg	gtcttgacat	ccacggaagt	tttcagagat	gagaatgtgc	1020
cttcgggaac	cgtgagacag	gtgctgcatg	gctgtcgtca	gctcgtgttg	tgaaatgttg	1080
ggttaagtcc	cgcaacgagc	gcaaccctta	tcctttgttg	ccagcggtcc	ggccgggaac	1140
tcaaaggaga	ctgccagtga	taaactggag	gaaggtgggg	atgacgtcaa	gtcatcatgg	1200
cccttacgac	cagggctaca	cacgtgctac	aatggcgcat	acaaagagaa	gcgacctcgc	1260
gagagcaagc	ggacctcata	aagtgcgtcg	tagtccggat	tggagtctgc	aactcgactc	1320
catgaagtcg	gaatcgctag	taatcgtgga	tcagaatgcc	acggtgaata	cgttcccggg	1380
ccttgtacac	accgcccgtc	acaccatggg	agtgggttgc	aaaagaagta	ggtagcttaa	1440
ccttcgggag a	ggcgcttacc	actttgtgat	tcatgactgg	ggtgaagtcg	taacaaggta	1500 1501

```
<210> 82
      <211> 51
      <212> ADN
      <213> Secuencia Artificial
     <220>
      <223> Cebador
      <400> 82
     cctatcccct gtgtgccttg gcagtctcag gagagtttga tymtggctca g
                                                               51
      <210> 83
10
      <211> 58
      <212> ADN
      <213> Secuencia Artificial
      <220>
      <221> característica_nueva
15
      <222> (31)..(40)
      <223> n es a, c, g, o t
     ccatctcatc cctgcgtgtc tccgactcag nnnnnnnnn taccgcggct gctggcac
                                                                         58
      <210> 84
20
      <211> 17
      <212> ADN
      <213> Secuencia Artificial
      <220>
      <223> Cebador
25
     <400> 84
     agactgggat aactccg
                           17
      <210> 85
      <211>
             18
      <212> ADN
30
      <213> Secuencia Artificial
      <220>
      <223> Cebador
      <400> 85
     aacctgcctt gtagcggg
                            18
35
      <210> 86
      <211> 18
      <212> ADN
      <213> Secuencia Artificial
      <220>
40
      <223> Cebador
      <400> 86
     taacaacatg aatcgcat
                           18
      <210> 87
      <211> 20
45
      <212> ADN
      <213> Secuencia Artificial
      <220>
      <223> Cebador Lactobacillus-Tuf-F2
      <400> 87
50
     gcycacgtwg aataygaaac
                                             20
      <210> 88
```

	<211> <212> <213>			
5	<400>	88 cca tttcaacyaa gtc		23
	<210> <211> <212> <213>	23		
10	<400> tgtggca	89 twg grccatcagt tgc		23
15	<210> <211> <212> <213>	20		
	<400> gccgaaa	90 atyg atggygaaat	20	
20	<210> <211> <212> <213>	23		
	<400> caacttttt	91 tc acgcaattgg ttg		23
25	<210> <211> <212> <213>			
	<400> tgatgtcv	92 vca agcyatgcgt aaac	24	
30	<210> <211> <212> <213>	24		
35	<400> ttcttgttc	93 c atgaaatcca tttg		24
	<210> <211> <212> <213>	22		
40	<400> gaataco	94 cac tagawcgtac ac		22
45	<210> <211> <212> <213>	29		
	<400> tgtgtttca	95 ac caattttgtg aattttacc	29	
50	<210> <211> <212> <213>	17		
	<400>	96		

	aatgcca	ggt tgtgctg	17		
5	<210> <211> <212> <213>	26			
	<400> gacttgtte	97 ca gagtwagaat wa	cttc	26	
10	<210> <211> <212> <213>	25			
	<400> atcgayg	98 gtg tgttacatga gta	ca	25	
15	<210> <211> <212> <213>				
	<400> ggcgtka	99 tcg aytcsgt	17		
20	<210> <211> <212> <213>				
25	<400> cagmgg	100 rege tggttgatg			19
	<210> <211> <212> <213>	18			
30	<400> tcgygttg	101 cy gaygacga	18		
35	<210> <211> <212> <213>	20			
	<400> attggygt	102 at taccagtcga	20		
40	<210> <211> <212> <213>	19			
	<400> aaccatc	103 tgc ccatacatc	19		
45	<210> <211> <212> <213>				
	<400> cgatttac	104 ac cccagttagt cgt			23
50	<210> <211> <212>				

	<213>	Brochotrix		
	<400> cagtaco	105 ttc tggtaacgtg	20	
5	<210> <211> <212> <213>	24		
	<400> acttctttc	106 a ctgcagaagt atac	;	24
10	<210> <211> <212> <213>	30		
15	<400>	107 aa agaagagggt gg	acotcata	30

#### REIVINDICACIONES

1. Un método de análisis metagenómico de alimentos fermentados para detectar y cuantificar las bacterias presentes en dicha muestra, el análisis que comprende la amplificación de la región V1-V3 del ARNr bacteriano 16S en dicha muestra, en donde se analiza la región V1-V3 con la pareja de cebadores de SEQ ID №1 y SEQ ID №2; en donde el método comprende además el uso de una fijación de un Ácido Nucleico Peptídico (PNA) para reducir la amplificación de al menos uno de S. thermophilus y L. delbrueckii, Lactococcus o Bacillus que pueden estar presentes en la muestra.

5

- 2. Un método de la reivindicación 1 en donde se añade monoazida de propidio (PMA) a la muestra antes de la extracción de ADN para reducir la posterior amplificación de ADN de bacterias no viables presentes en la muestra.
- 3. Un método de la reivindicación 1 o de la reivindicación 2 en donde dicho análisis puede detectar y distinguir bacterias de las familias: Acetobacteraceae, Aeromonadaceae, Bacteroidaceae, Burkholderiaceae, Carnobacteriaceae, Clostridiaceae, Comamonadaceae, Enterobacteriaceae, Enterococcaceae, Flavobacteriaceae, Lachospiraceae, Lactobaillaceae, Leuconostocaceae, Listeriaceae, Moraxellaceae, Neisseriaceae, Pseudoalteromonadaceae, Pseudomonadaceae, Shewanellaceae, Streptococcaceae, Vibrionaceae y Xanthomonadaceae; y/o
- en donde dicho análisis puede detectar y distinguir bacterias de los géneros: Acetobacteraceae Acetobacter. 15 Acetobacteraceae Gluconacetobacter, Aeromonadaceae Aeromonas, Bacteroidaceae Bacteroides, Burkholderiaceae Burkholderia, Carnobacteriaceae Carnobacterium, Clostridiaceae Clostridium, Comamonadaceae Comamonas, Comamonadaceae Delftia, Enterobacteriaceae Escherichia, Enterobacteriaceae Pantoea, Enterobacteriaceae Serratia, Enterococcaceae Enterococcus, Chryseobacterium, Flavobacteriaceae Flavobacterium, Flavobacteriaceae Lachnospiraceae Butyrivibrio, Lactobaillaceae Lactobacillus, Lactobaillaceae Pediococcus, Leuconostocaeae Leuconostoc, Leuconostocaeae Weisella, Listeriaceae Listeria, Moraxellaceae Acinetobacter, 20 Psychrobacter, Neisseriaceae Alysiella, Pseudoalteromonadaceae Pseudoalteromonas. Pseudomonadaceae Pseudomonas, Shewanellaceae Shewanella, Streptococcaceae Lactococcus, Streptococcaceae Streptococcus, Vibrionaceae Aliivibrio, Vibrionaceae Photobacterium, Vibrionaceae Vibrio y Xanthomonadaceae Xanthomonas.
- 4. Un método de cualquiera de las reivindicaciones anteriores en donde se determina el porcentaje de bacterias representadas por al menos una unidad taxonómica operacional (OTU), y
  - opcionalmente que comprende además determinar las unidades formadoras de colonias (CFU) de la muestra y normalizar el porcentaje de organismos representados por dicha OTU a una proporción de recuento de CFU viables totales de la muestra.
- 30 5. Un método de cualquier reivindicación precedente en donde dicho análisis metagenómico es seguido por una qPCR específica de taxones.
  - 6. Un método de cualquier reivindicación precedente en donde dichos cebadores se modifican mediante la adición de un adaptador, secuencia clave, marcador o secuencia universal, que tiene opcionalmente las secuencias de SEQ ID Nos. 82 y 83 respectivamente.
- 7. Un kit para análisis metagenómico de una muestra que comprende uno o ambos cebadores que comprenden la secuencia de SEQ ID Nº. 1 y/o SEQ ID Nº. 2, en donde preferiblemente los cebadores consisten en las secuencias de SEQ ID Nº. 1 y/o SEQ ID Nº. 2 y que además comprende un oligonucleótido de PNA que comprende la secuencia de SEQ ID Nº. 80, preferiblemente en donde el oligonucleótido de PNA consiste en la secuencia de SEQ ID Nº. 80.
- 8. Un kit de la reivindicación 7 en donde el(los) cebador(es) se modifican mediante la adición de un adaptador, secuencia clave, marcador o secuencia universal, que tiene opcionalmente las secuencias de SEQ ID Nos. 82 y 83 respectivamente.
  - 9. Un kit de cualquiera de las reivindicaciones 7 a 8 que comprende además monoazida de propidio (PMA); y/o que comprende además un reactivo para análisis metagenómico de una muestra.

1500 bp

\$

?

1100 1200 

FIGURA 1

#### Porcentaje de especies con diferencias en regiones hipervariables de ADNr 16S

#### Genes bacterianos

#### REGIONES VARIABLES

Genes bacterianos															
	V2	V2V3-	13.	1314	Til	7475	73	V3V6	V6	VeVT	VY	VTV8	V6	11119	1/9
Acenducteraceae_Acetobacter	77%	30.00	3015	RES.	部分	90%	33.9	72%	61%	78%	31%	30%	60%	75%	36/9
Ad enalizable scales e. Sharanan enduance	4.7%	30.05	20%	A815	81%	31175	47%	5.836	41%	63%	2156	29%	35%	4075	33/9
As remenadoreas, Associationas	47%	8.7%	7579	78%	28%	31%	14%	42%	28%	3.4%	14%	19%	27%	207%	17%
Battereidere ac, Bestereides	25%	0990	408	47%	HH	90%	81%	875	1500	28%	3750	19660	7216	39950	BTW
Bankholderi armae. Bankhalderia	77%	-190%	975	93%	46%	67%	13%	79%	66%	73%	18%	48.55	33%	55%	13%
Care obsectoriaceses. Care obsectoria es	100%	180%	60%	(80%)	70%	50%	80%	100%	10%	100%	58%	50%)	87%	(1865)	75%
Clartridianae, Clartridium	9.954	19614	77%	10%	28%	91%	77%	8416	. 85%;	3134	6.936	92%	87%	97%	95%
Си та ти побиского. Спутки плик	100%	INDIA	1664	186%	73%	10.61	60 %	£90%	1999	5216	42%	67%	30%	(60%)	65%
Ca ma ma mada cease. Del ficia	33%	67%	50%	59%	67%	67%	67%	LOOSE	67%	100%	67%	67.16	67%	188%	MES
Enter ebacteria case. Excherichi a	100%	100%	60m	1809	60%	BARA.	60%	63%	67%	67%	58%	47.56	67%	67%	33%
Enter abacteriaceae , Pantoea	58%	190%	100%	9,514	58%	60%	45%	65.94	60%	190%	38%	53%	58%	73%	36%
Enterebacterieruse, Servatia	5316	93%	60%	1000	47%	53/96	37%	5316	40%	77%	4716	1000	87%	91%	1.0%
Enter scorcaceae. Esterococca :	4916	9915	59%	4156	48%	55%	33%	5816	45%	58%	28%	55%	4014	73%	96W
Florebacteriaceae. Obry reobacteria m	100%	100%	65%	1000	77%	80%	64%	8636	47%	71%	2116	6516	38%	77%	33%
Florebucteriaceus, Planebacteria e	100%	100%	90%	9915	00%	2015	60%	8616	60%	F156	5616	82%	67%	0.0000	90%
Fluorefluorieriaceum_Myrmiden	4914	100%	160%	100%	2006	1989	6000	(1985)	50%	100%	11%	(100%)	4814	80%	1986
Lack nexpiracese, Butyrivibrio	100803	1000	100%	180%	11105	sk#is.	47%	Colle	100%	100%	67%	100%	100%	[18456]	100%
Lacrobacii lacene, Lacrobacii lec	Alle.	- Milita	70%	29%	75.94	80%	40%	7636	65%	78%	4136	42/6	6115	90%	1989
Carriettas diamere, Pedronocrus	MITTER.	1000	75%	DESCRIPTION	87.56	100001	34%	100%	72%	3216	1155	(0000)	##15	77976	24775
Leucanoscacaceae, Leuconomor	2016	1845	90%	90%	TEST	80%	46/9	84.76	55%	78%	511%	74%	6779	3079	208%
Leuca nassacacese, Wester La	80%	884	61735	999	71%	MV%	60%	1866	68%	42%	42%	1250	21%	79%	100%
Litteranciae_Litteria	DESCRIPTION OF THE PERSON OF T	motts.	4419	4416	1079	30%	10%	33%	22%	38%	411%	180%	9215	110%	33/9
Moravellanue_Actoristion.or	8110	MH-	9474	9935	12%	MOTE	44%	5.7 %	480%	5.6%	3.7%	83.50	20%	185%	1000
Moravellansae_Psychostamer	100%	7576	6675	9.616	67%	67%	13/9	27%	10%	35%	3156	29.56	27%	71%	T6/9
Neissenaneac, Alpsette	100%	1000	1955	186%	3976	10.850	398%	1,00%	LOSS	100%	100%	100 E	59%		7. C. L.
Pseudial renomanadaceae, Pseudoaleerom.	5916	79%	3975	7936	39%	70%	34%	383.56	49%	63%	22%	39.50	4176	79%	13%
Prevaficion nadareae, Preudomonas	57%	90%	78%	39%	62%	7176	43.98	65%	47%	68.55	2.6%	80.55	49%	6876	4.4%
Showardlocar, Showardla	54%	- NUME	555	46.50	67%	80%	33/9	715	53%	71%	25%	67.56	57%	89%	4.0%
Streptococcare se. Lactocarcus	100%	100%	76%	7.5%	50%	50%	38%	54%	36%	63%	58%	75%	6316	50%	50%
Streptococcurs se. Streptococcu :	100%	120%	76%	65%	74%	79%	38%	2006	66%	102.56	28%	69.16	45%	42%	69%
Vibriannous "Allivibria	5814	1100%	3859	CHESS	58%	67%	58%	0.00%	100%	100W	17%	5016	5014	DIRECT	10000
Vib rienaceae, Photobacterium	57%	90%	90%	99%	57%	74%	30%	10%	42%	65%	35%	7816	74%	90%	30%
Vibrianaceae, Vibria	6016	96%	40%	17%	60%	66%	24%	61.9	18%	68%	18%	6316	4816	ONEG	56%
Ya ethomoradacea e Xueth un unur	30%	4474	277%	47%	56%	56%	15/9	3416	33%	33%	22%	4416	30%	3014	19%

#### ES 2 785 205 T3

0-0			•
SEQ	III)	NΙ	Χ.

	$\underline{\texttt{GaGaGTt}} \textbf{\textit{TG}} \texttt{aTCatggct} \textbf{\textit{CA}} \texttt{G} \texttt{ATTGAACGCTGGCGGCAGGCCTAACACATGCAAGTCGAAC}$	01
V1	GGTAACAGGAAGCAGCTTGCTTCTTTGCTGACGAGTggcGGaCgGgTgAGTAAgTCTGG	61
V2	GAgACgGCg <b>TGATGGAGGGGGATAACTACTGGAAACGGTAGCTAATACCGCATAACGTCG</b>	121
	CAAGACCAAAGAGGGGGACCTTCGGGCCTCTTGCCATCGGATGTGCCCAGATGGGATTAG	181
	CTAGTAGGTGGGGTAACGGCTCACCTAGGCGACGATCCCTAGCTGGTCTGAGAGGATGAC	241
	CAGCCACACTGGAACTGAGACACGGTCCAGACTCCTACGGGAGGCAGCAGTGGGGAATAT	301
	TGCACAATGGGCGCAAGCCTGATGCAGCCATGCCGCGTGTATGAAGAAGGCCTTCGGGTT	361
v3	GTAAAGTACTTT <b>CAGCGGGGAGGAAGGGAGTAAAGTTAATACCTTTGCTCATTGACGTTA</b>	421
	CCCCCAGAAGAAGCACCGGCTaaCtCCgtgccagcagccgcggtaaTacGGAGGGTGCAA	481
V4	GCGTTAATCGGAATTACTGGGCGTAAAGCGCACGCAGCGG <b>TTTGTTAAGTCAGATGTGAA</b>	541
	ATCCCCGGGCTCAACCTGGGAACTGCATCTGATACTGGCAAGCTTGAGTCTCGTAGAGGG	601
	GGGTAGAATTCCAGGTGTAGCGGTGAAATGCGTAGAGATCTGGAGGAATACCGGTGGCGA	661
	AGGCGGCCCCCTGGACGAAGACTGACGCTCAGGTGCGAAAGCGTGGGGAGCAAACAGGAT	721
<b>V</b> 5	TAGATACCCTGGTAGTCCACGCCGTAAACGATGTCGACTT <b>GGAGGTTGTGCCCTTGAGGC</b>	781
	<b>GTGGCTTCC</b> GGAGCTAACGCGTTAAGTCGACCGCCTGGGGAGTACGGCCGCAAGGTTAAA	841
	ACTCAAATGAATTGACGGGGGCCCGCACAAGCGGTGGAGCATGTGGTTTAATTCGATGCA	901

#### ES 2 785 205 T3

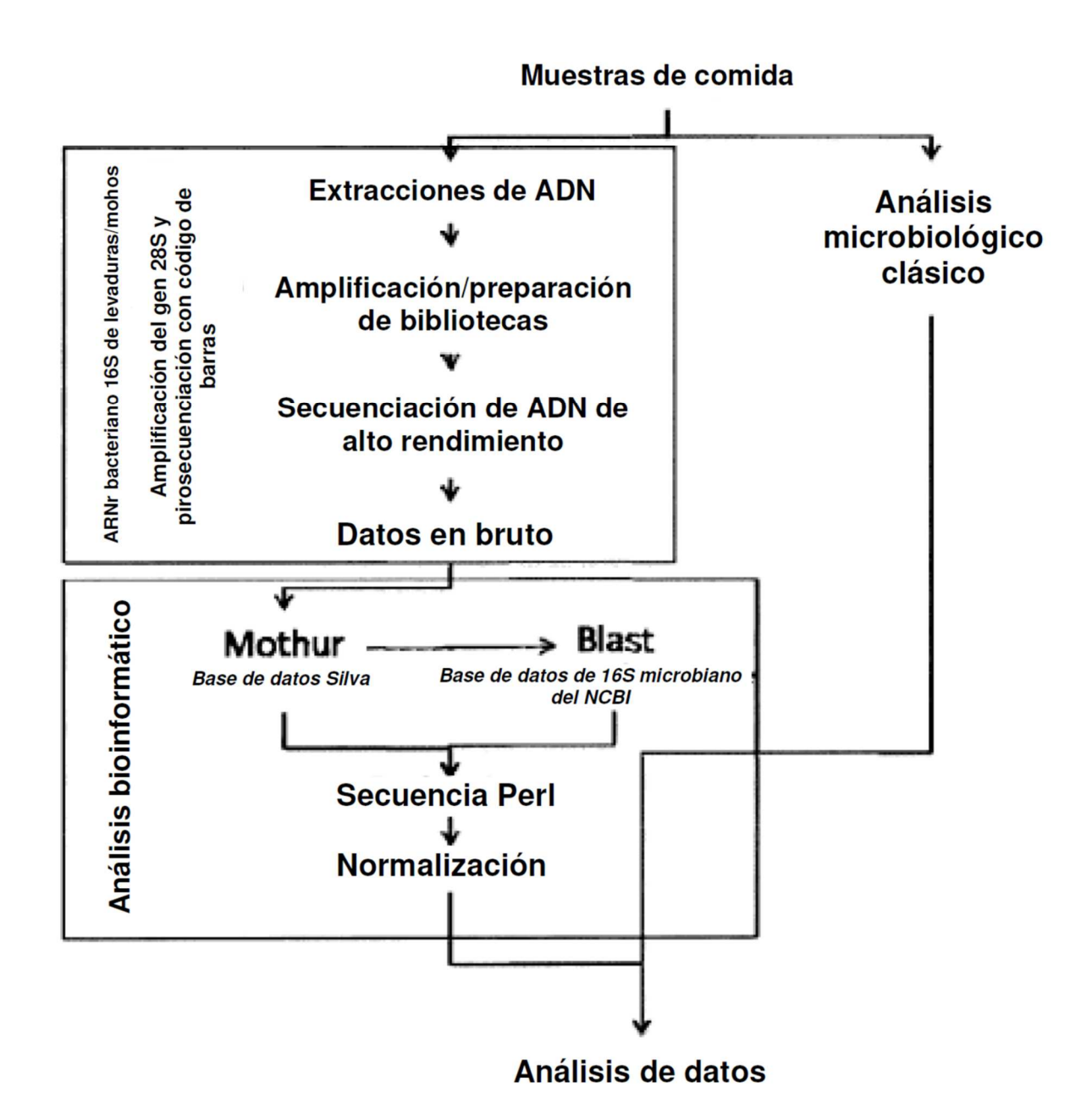
#### FIGURA 3 cont.

V6	ACGCGAAGAACCTTACCTGGTCTTGACATCCACGGAAGTTTTCAGAGATGAGAATGTGCC	961
	TTCGGGAACCGTGAGACAGGTGCTGCATGGCTGTCGTCAGCTCGTGTTGTGAAATGTTGG	1021
<b>V</b> 7	GTTAAGTCCCGCAACGAGCGCAACCCTTATCCTTTGTTGCCAGCGGTCCGGCCGG	1081
	<b>CANAGGAGA</b> CTGCCAGTGATAAACTGGAGGAAGGTGGGGGATGACGTCAAGTCATCATGGC	1141
VB	CCTTACGACCAGGGCTACACGTGCTACAATGGCGCATACAAAGAGAAGCGACCTCGCG	1201
	AGAGCAAGCGGACCTCATAAAGTGCGTCGTAGTCCGGATTGGAGTCTGCAACTCGACTCC	1261
	ATGAAGTCGGAATCGCTAGTAATCGTGGATCAGAATGCCACGGTGAATACGTTCCCGGGC	1321
V9	CTTGTACACACCGCCCGTCACACCATGGGAGTGGGTTGCAAAAGAA <b>GTAGGTAGCTTAAC</b>	1381
	CTTCGGGAGGGCGCTTACCACTTTGTGATTCATGACTGGGGTGAAGTCGTAACAAGGTAA	1441
le	TOTALMENTE CONSERVADA conservada (minúscula) Variable (mayúscula) Hipervariab	

#### <u>v1-v3</u>

OLIGO	inicio	long.	tm	gc*
16S-V1-V3-FW GAGAGTTTGATYMTGGCTCAG SEQ ID NO. 1	1	21	57,47	47,62
16S-V1-V3-Rev ACCGCGGCTGCTGGCAC SEQ ID NO. 2	555	17	69,56	76,47

TAMAÑO DEL PRODUCTO: 555, CUALQUIER PAREJA COMPL.: 3,00, PAREJA 3' COMPL.: 2,00



2

	0 0 0 0 0 0 0 0 0 0 0 0 0 0 0 0 0 0 0 0	
	CHLOKOPLASTZ	CHLOKOFLASIZ GAGAGIICGAICCIGGCICGGCGGCGCGCGCGCGCGTGCIIAACACGTGGCGGGACGGGGAAGIGGTGIITCCAGIGG
	CHLOROPLAST3	CHLOROPLAST3 GAGAGTTTGATCATGGCTCAGGATGAACGCTGGCGGCATGCTTAACACATG-CAAGTCGGACGGGAAGGTGGTGTTTCCAGTGG
10	CHLOROPLAST4	CHLOROPLAST4 GAGAGITIGAICAIGGCICAGGAIGAACGCIGGCGGCAIGCITAACACAIG-CAAGICGGACGGGAAGIGGIGITICCAGIGG
	CHLOROPLAST5	CHLOROPLAST5 GAGAGTTTGATCATGGCTCAGGATGAACGCTGGCGGCATGCTTAACACATG-CAAGTCGGACGGGAAGTGGTGTTTCCAGTGG
	CHLOROPLAST6	CHLOROPLAST6 GAGAGTITGATCATGGCTCAGGATGAACGCTGGCGGCATGCTTAACACATG-CAAGTCGGACGGGAAGTGGTGTTTCCAGTGG
	CHLOROPLAST7	CHLOROPLASI7 GAGAGITIGATCAIGGCTCAGGAIGAACGCIGGCGGCAIGCITAACACAIG-CAAGITCGAAACGGGAAGIGGIGITTCCAGIGG
	CHLOROPLAST8	CHLOROPLAST8 GAGAGTTTGATCATGGCTCAGGATGAACGCTGGCGGCATGCTTAACACATG-CAAGTCGAACGGGAAGTGGTGTTTCCAGTGG
15		QP-PNAcup GAAGIGGIGITTCCAGI
	Pseudomonas	GAGAGTITGATCATGGCTCAGATTGAACGCTGGCGGCAGGCCTAACACATGTCAAGTCGAGCGGATGAGAAGAGCTTGCTCTTCGATTCAGCGG
	Xanthomonas	GAGAGTTTGATCATGGCTCAGAGTGAACGCTGGCGGCGGCCTAACACATG-CAAGTCGAACGGCAGCGGGTAGGAAGCTTGCTTCCTATGCCGGCGAGTGG
	E.Coli	GAGAGTTTGATCATGGCTCAGATTGAACGCTGGCGGCAGGCCTAACACATG-CAAGTCGAACGGTAACAGGAAGCAGCTTGCT-GTTTCGCTGACGAGTGG
	Lactococcu	GAGAGTTTGATCCTGGCTCAGGATGAACGCTGGCGGCGTGCCTAATACATG-CAAGTCGAACGAAACTTCTTTATCACCGAGTGCTTGCACTCACCGATAAAGAGTTGAGTGG
70	Brochothrix	GAGAGTTTGATCCTGGCTCAGGACGAACGCTGGCGGCGTGCCTAATACATG-CAAGTCGAACGACGGATAAAGAGCTTGCTCTTTTGAAGTTAGTGG
	Arthrobacter	Arthrobacter GAGAGTTTGATCATGGCTCAGGATGAACGCTGGCGGCGTGCTTAACACATG-CAAGTCGAACGATGAACCT-CACTTGTGGGGGGGATTAGTGG

QP-MetaFw GAGAGTTTGATYMTGGCTCAG

-CAATGACGGTATCTGGGGAATAAGCATCGGCTAACTCTGTGCCAGCAGCGGGGT -CAATGACGGTATCTGGGGAATAAGCATCGGCTAACTCTGTGCCAGCAGCGGGGT -CAATGACGGTATCTGAGGAATAAGCATCGGCTAACTCTGTGCCAGCAGCCGGGT --CAATGACGGTATCTGAGGAATAAGCATCGGCTAACTCCGTGCCAGCAGCGCGGGT

-CAATGACGGTATCTG QP-PNAcdn

-CAATGACGGTATCTGGGGAATAAGCATCGGCTAACTCTGTGCCCAGCAGCGGGT -CAATGACGGTATCTGGGGAATAAGCATCGGCTAACTCTGTGCCAGCAGCCGCGGT -CAATGACGGTATCTGGGGAATAAGCATCGGCTAACTCTGTGCCAGCAGCCGGGT

-CAATGACGGTATCTGGGGAATAAGCATCGGCTAACTCTGTGCCAGCAGCGGGGGT

## 

GGAGAAGAAG-GGAGAAGAAG-AGAGAAGAAG-

CHLOROPLAST6

2

GGGGAAGAAATCCTGCTGCTAATATCCGGCGGGGATGACGGTACCCAAAGAATAAGCACCGGCTAACTTCGTGCCAGCAGCGGGT TGGGAGGAAGGGCAGTAAGCGAATACCTTGCTGTTTTGACGTTACCGACAGAATAAGCACCGGGTAACTCTGTGCCAGCAGCGGGT as Pseudomonas Xanthomonas

SGGGAGGAAGGGAGTAAAGTTAATACCTTTGCTCATTGACGTTACCCGCAGAAGAAGAAGCACCGGCTAACTCCGTGCCAGCAGCAGCGGGT agagaagaaagtgcgtgagagtaactgttcacgtttcgacgtatttaaccagaaagccacggctaactacgtgccagcggt ds Lactococcus E.Coli 20

AGGGTAGAA-GCCTGTCTTAGGGGTCGST-----GACGGTACCTGCAGAAGAAGAAGCGCCGGCTAACTACGTGCCAGCAGCGCGGT

AGAGAAGAAGACATGGGTGAGAGTAACTGITCACCNCTTGACGGTATCTAACCAGAAAGCCACGGCTAACTACGTGCCAGCAGCGGGT

GTGCCAGCAGCCGCGGT QP-MetaRev

25

Arthrobacter sp

Brochothrix

FIGURA 7

 $\sim$ 

45

GGAGAAGAAG--

CHLOROPLAST3

CHLOROPLAST4 CHLOROPLAST5

CHLOROPLAST2

10

CHLOROPLAST1

ggagaagaagggagaagaagTCGGGTAAAG TCGGGTAAAG TCAGGTAAAG TCAGGTAAAG TCAGGTAAAG TCAGGTAAAG

# **FIGURA 8**

5

Mito-Oryza-sativa	va	CTGTTTGATGAGCCTGCGTAGTATTAGGTAGTTGGT
Mito-Oryza-rufipogon	nopod	CTGTTTGATGAGCCTGCGTAGTATTAGGTAGTTGGT
Mito-Bambusa-oldhami	dhamii	CTGTTTGATGAGCCTGCGTAGTATTAGGTAGTTGGT
Mito-Triticum-aestivum	estivum	CTGTTTGATGAGCCTGCGTAGTATTAGGTAGTTGGT
Mito-5.cereale		CTGTTTGATGAGCCTGCGTAGTATTAGGTAGTTGGT
Mito-Sorghum-bicolor	color	CTGTTTGATGAGCCTGCGTAGTATTAGGTAGTTGGT
		TGTTTGATGAGCCTGCGT QP-PNAm
CHLOROPLASTE1		GCCCGAGGAGGGCTCGCGTCTGATTAGCTAGTTGG1
CHLOROPLASTE2		GCCCGAGGGGCTCGCGTCTGATTAGCTAGTTGGTG
CHLOROPLASTE3		GCCCAAGGAGGGCTCGCGTCTGATTAGCTAGTTGGTG
CHLOROFLASTE4		GCCCAAGGAGGGCTCGCGTCTGATTAGCTAGTTGG1
E.Coli	gp	TGCCATCGGATGTGCCCAGATGGGATTAGCTTGTTGGT
Lactoc-lactis	ďs	TAICACTITGGGAIGGACCIGCGCGCAITAGCIIGTIGGI
Weissella	di S	TATCACTAAGAGATGGTCCCGCGGTGCATTAGCTAGTTGGT
Brochotr-Therm	зb	TGTCACTGTGAGATGGACCCGCGCTGGATTAGCTAGTTGGT
Stapylococcus	g, s	TATCACTIATAGAIGGACCCGCGCCGTATIAGCTAGIIGGI

20

TGAGGCAATA

TGAGGCAATA TGGGGTAACG TAGGGTAACG

SAGGCAATA SAGGCAATA

TAAGGTAATG

TAAGGTAACG

TAAGGTAATG

25

2

9

	Lactobacillus-delbrueckii-subs	GGCCTACCAAGGCAATGATGCGTAGCCGAGTTGAGAGACTGATCGGCCA
S	Lactobacillus-delbrueckii-subs	GGCCTACCAAGGCAATGATGCGTAGCCGAGTTGAGAGACTGATCGGCCA
	Lactobacillus-amylovorus	GGCTTACCAAGGCGACGATGCATAGCCGAGTTGAGAGACTGATCGGCCA
	Lactobacillus-acidophilus	GGCCTACCAAGGCAATGATGCATAGCCGAGTTGAGAGACTGATCGGCCA
	Lactobacillus-amylolyticus	GGCTTACCAAGGCAACGATGCATAGCCGAGTTGAGAGACTGATCGGCCA
	Lactobacillus-acetotolerans	GGCTTACCAAGGCAACGATGCATAGCCGAGTTGAGAGACTGATCGGCCA
9	Lactococcus-piscium	GGACTACCAAGGCGATGATACATAGCCGACCTGAGAGGGTGATCGGCCA
	Lactococcus-plantarum	GGACTACCAAGGCGATGATACATAGCCGACCTGAGAGGGTGATCGGCCA
	Lactococcus-chungangensis	GGACTACCAAGGCGATGATACATAGCCGACCTGAGAGGGTGATCGGCCA
	Lactococcus-raffinolactis	GGACTACCAAGGCGATGATACATAGCCGACCTGAGAGGGTGATCGGCCA
	Lactococcus-lactis-subsp-Hordn	GGCTCACCAAGGCGATGATACATAGCCGACCTGAGAGGGTGATCGGCCA
15	Lactococcus-lactis-subsp-Lacti	GGCTCACCAAGGCGATGATACATAGCCGACCTGAGAGGGTGATCGGCCA
	Lactococcus-lactis-subsp-Cremo	GGCTCACCAAGGCGATGATACATAGCCGACCTGAGAGGGTGATCGGCCA
	PNALactococcus	GATGATACATAGCCGACC
	Streptococcus-Thermophilus-19-5	GGCTCACCAAGGCGACGATACATAGCCGACCTGAGAGGGTGATCGGCCA
	Streptococcus-Thermophilus-UKPS2	GGCTCACCAAGGCGATGATACATAGCCGACTTGAGAGGGTGATCGGCCA
70	Streptococcus-Thermophilus-SM1	GGCTCACCTAGGCGACGATACATAGCCGACCTGAGAGGGTGATCGGCCA
	Streptococcus-parauberis	GGCTCACCAAGGCCACGATACATAGCCGACCTGAGAGGGTGATCGGCCA
	Streptococcus-inlae	GGCTCACCAAGGCGACGATACATAGCCGACCTGAGAGGGTGATCGGCCA
	Streptoccccus-dysgalactiae-ssp	GGCTCACCAAGGCGACGATACATAGCCGACCTGAGAGGGTGATCGGCCA
	Streptococcus-agalactiae	GGCTCACCAAGGCGACGATACATAGCCGACCTGAGAGGGTGATCGGCCA
25	Streptococcus-equi	GGCCTACCAAGGCGACGATACATAGCCGACCTGAGAGGGTGAACGGCCA
	Streptoccccus-oligofermentans	GGCTCACCTAGGCGACGATACATAGCCGACCTGAGAGGGTGATCGGCCA
	Enterococcus-faecalis	GGCTCACCAANGNCACGATGCATAGCCGACCTGAGAGGGTGATCGGCCA
	Lactobacillus-algidus	GGCCCACCAAGGCAATGATACGTAGCCGACCTGAGAGGGTGATCGGCCA
	Lactobacillus-frumenti	GGCTTACCAAGGCGATGATGCATAGCCGAGTTGAGAGACTGATCGGCCA
30	Lactobacillus-panis	GGCTTACCAAGGCAATGATGCATAGCCGAGTTGAGAGACTGATCGGCCA
	Lactobacillus-fermentum	GGCCTACCAAGGCGATGATGCATAGCCGAGTTGAGAGACTGATCGGCCA
	Lactobacillus-oligofermentans	GGCTCACCAAGACAATGATACGTAGCCGAACTGAGAGGTTGATCGGCCA
	lactobacillus_plantarum	GGCTCACCATGGCAATGATACGTAGCCGACCTGAGAGGGTAATCGGCCA
į	Brevibacterium-linens	GGCCTACCAAGGCGACGGGTAGCCGGCCTGAGAGGGGCGACCGGCCA
35	Psychroflexus-sp	GGCTTACCATGGCAACGATAGGTAGGGGTCCTGAGAGGGAGATCCCCCA

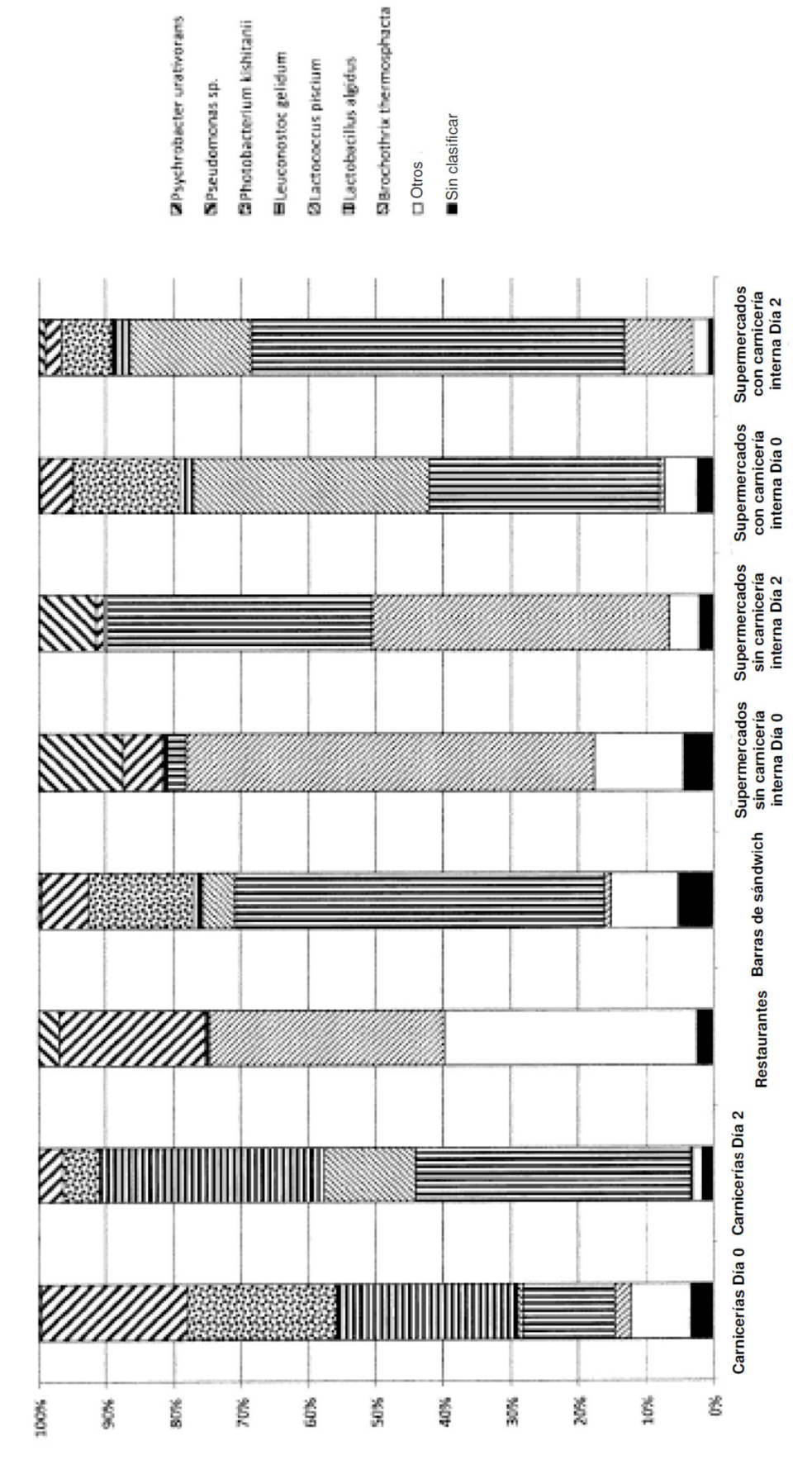
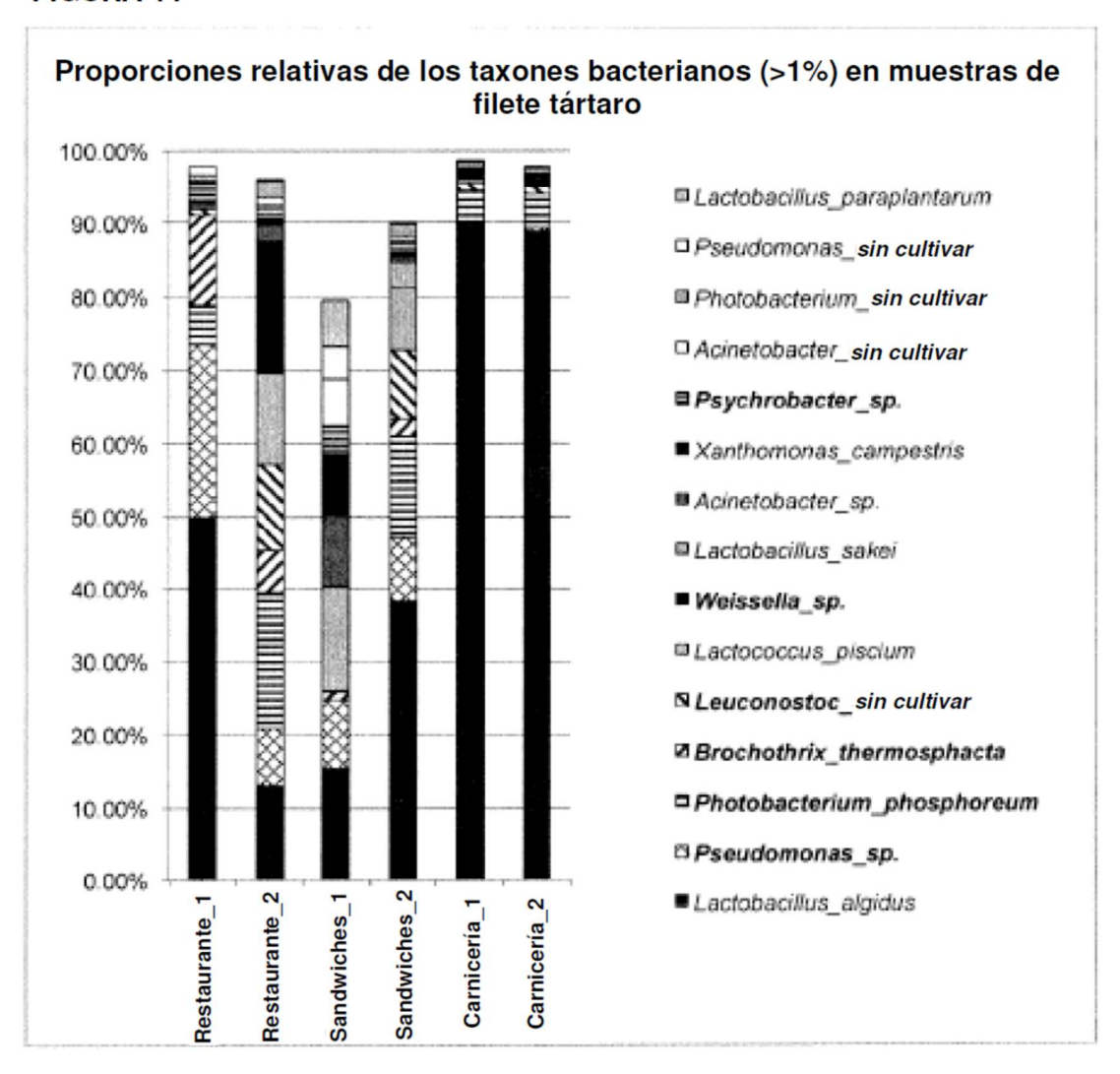
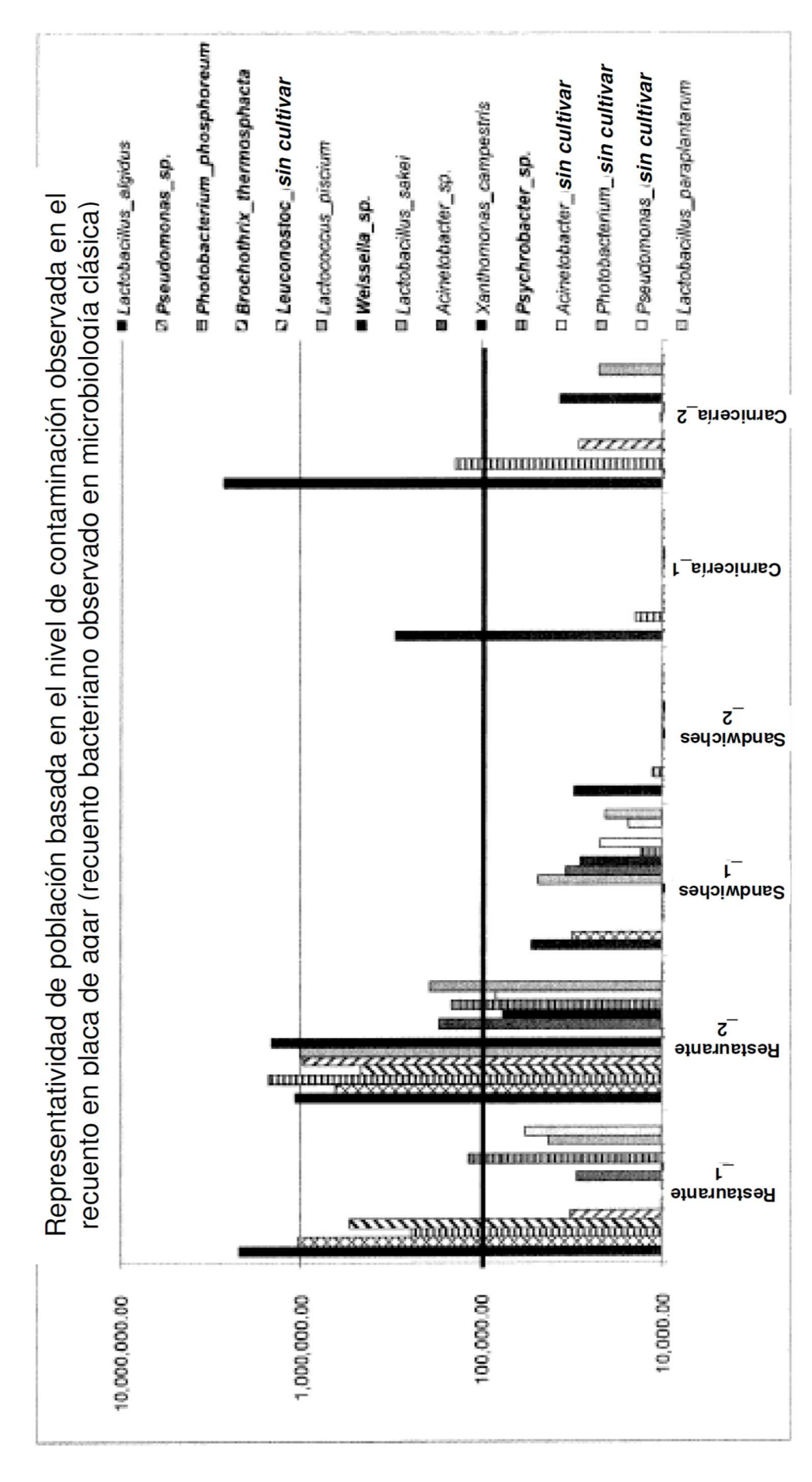


FIGURA 11





50

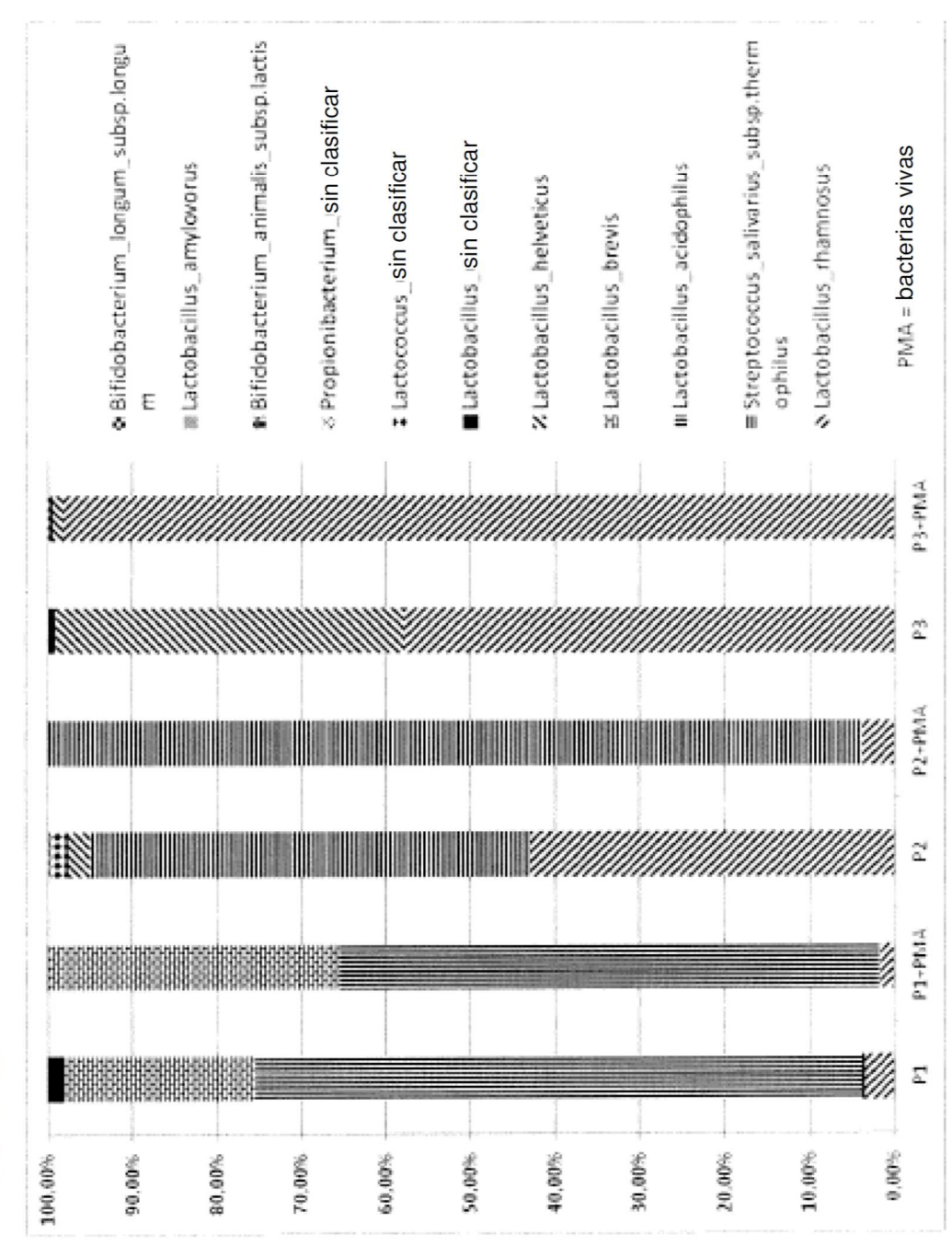
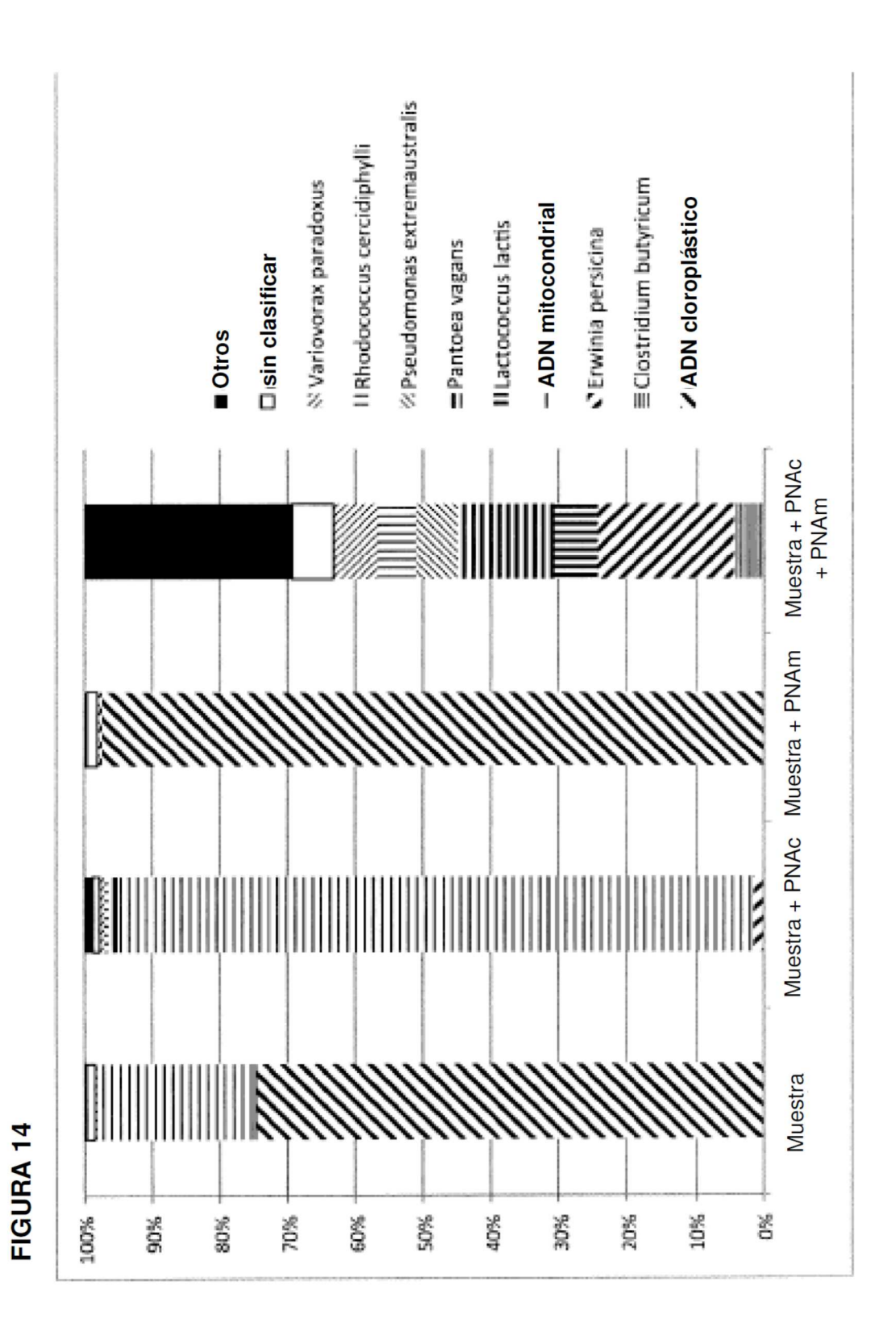


FIGURA 13



52

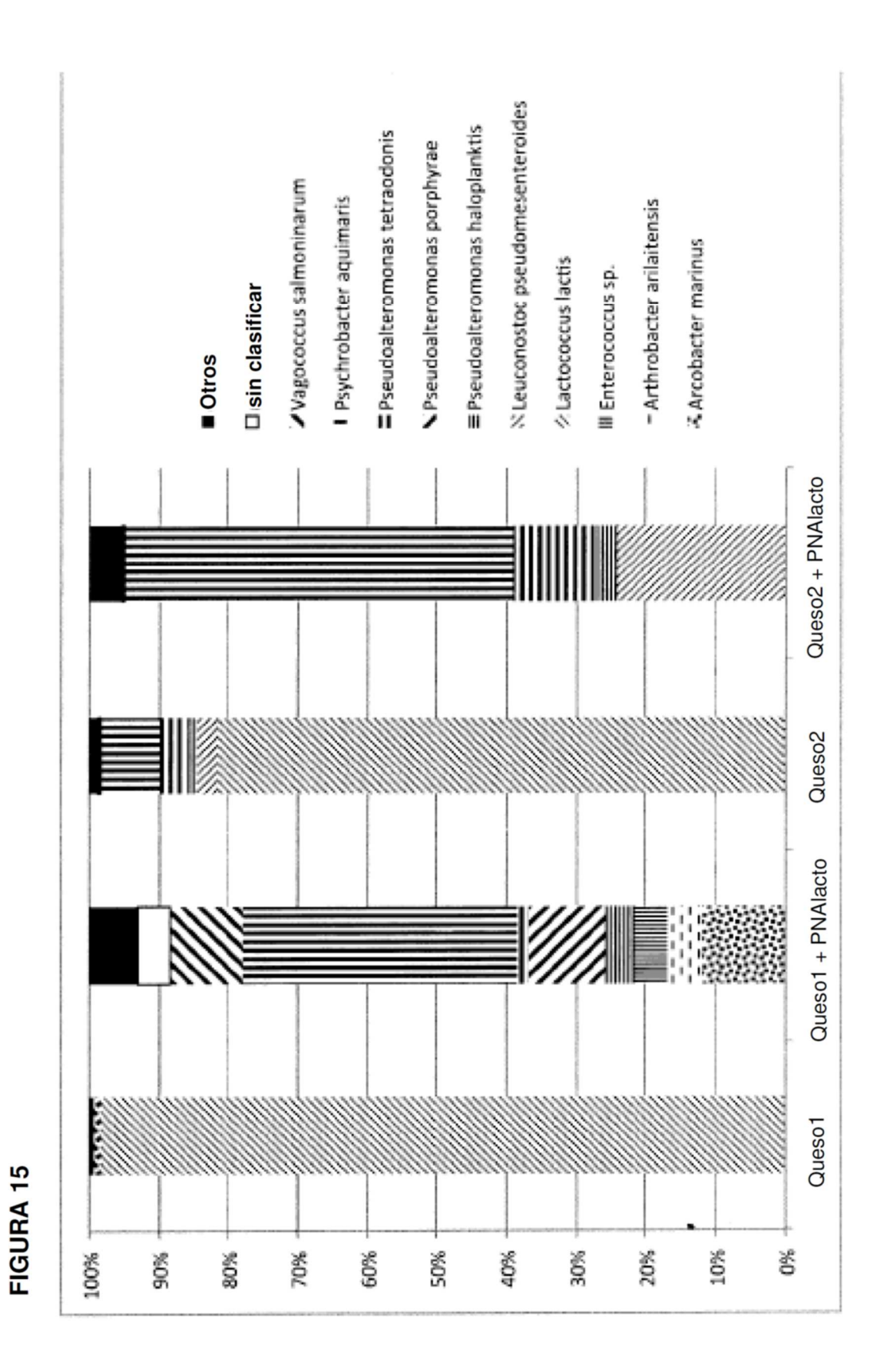


FIGURA 16

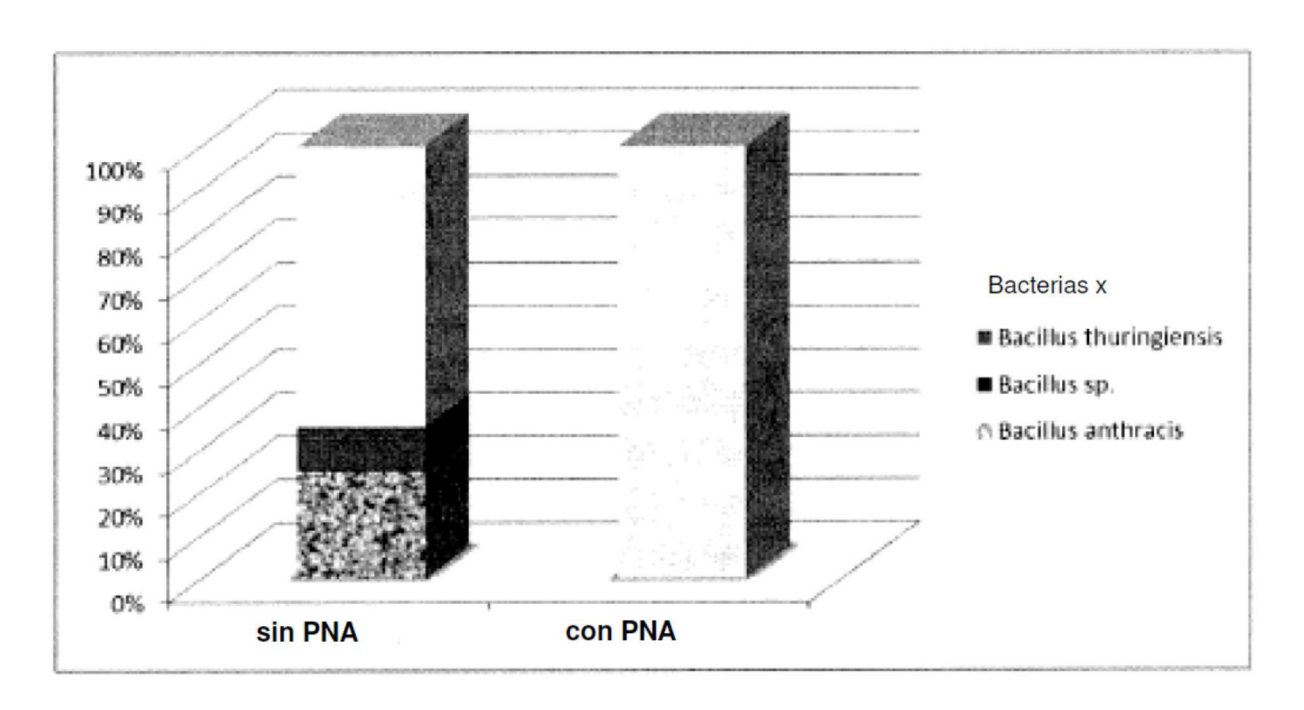
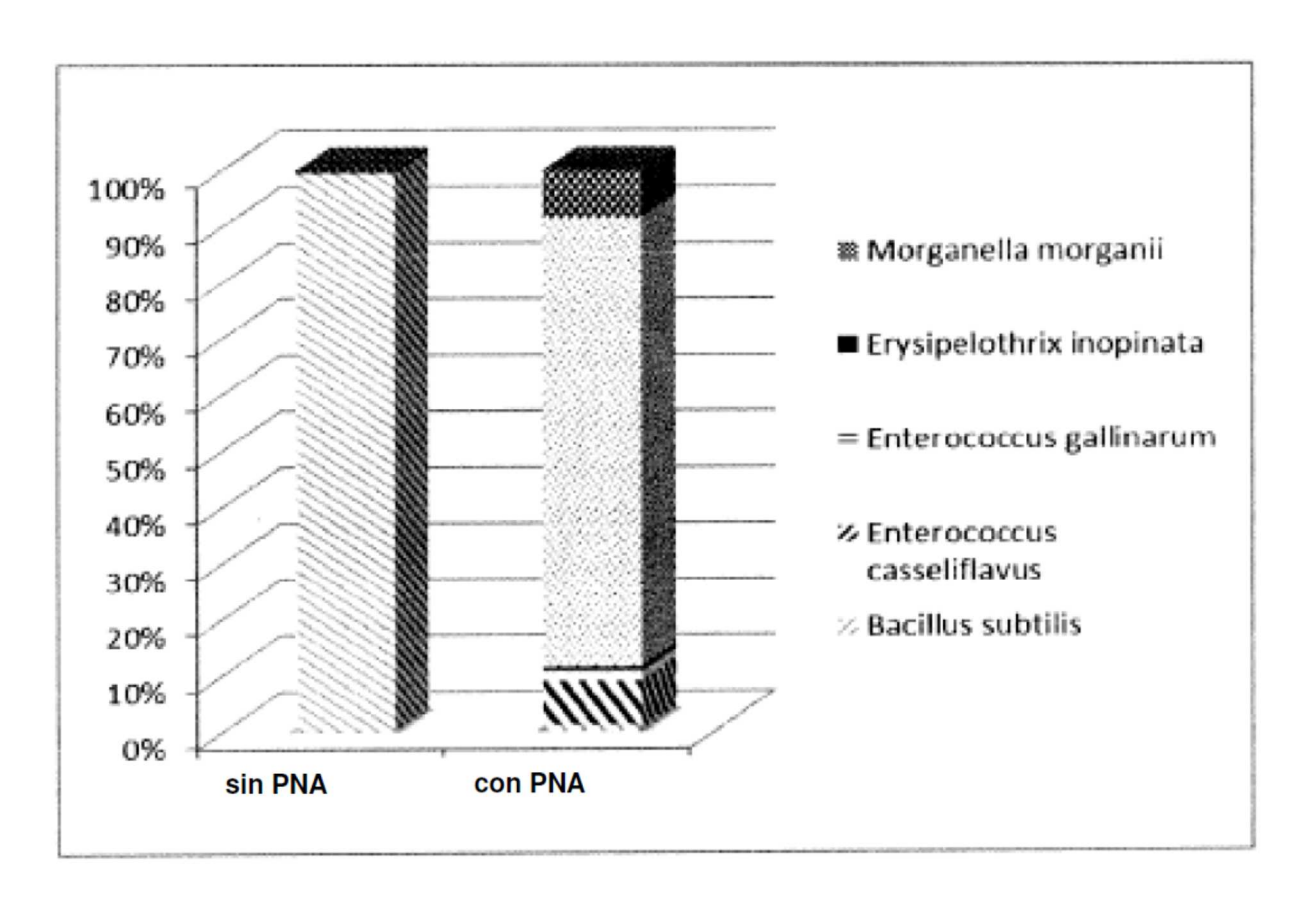
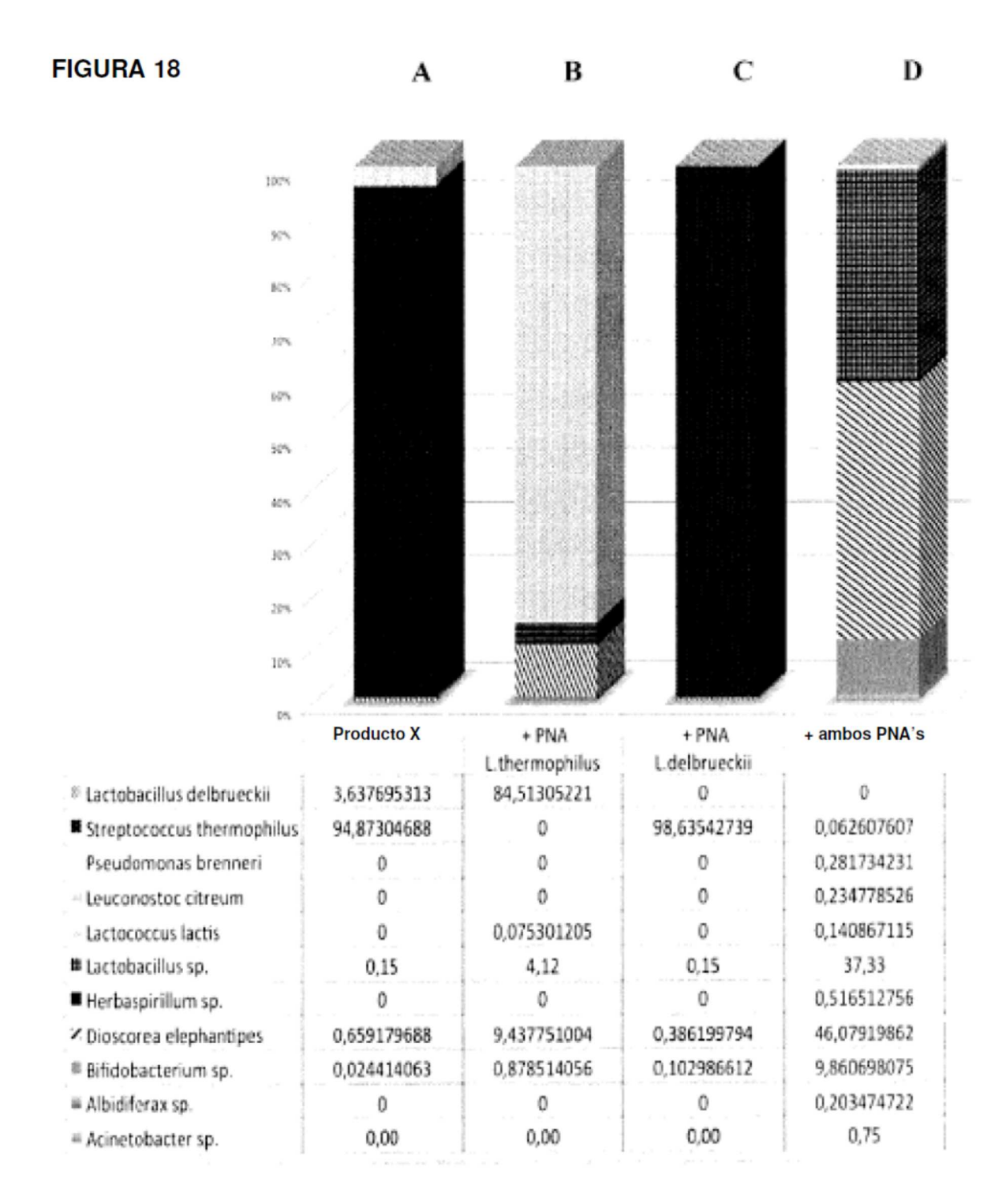
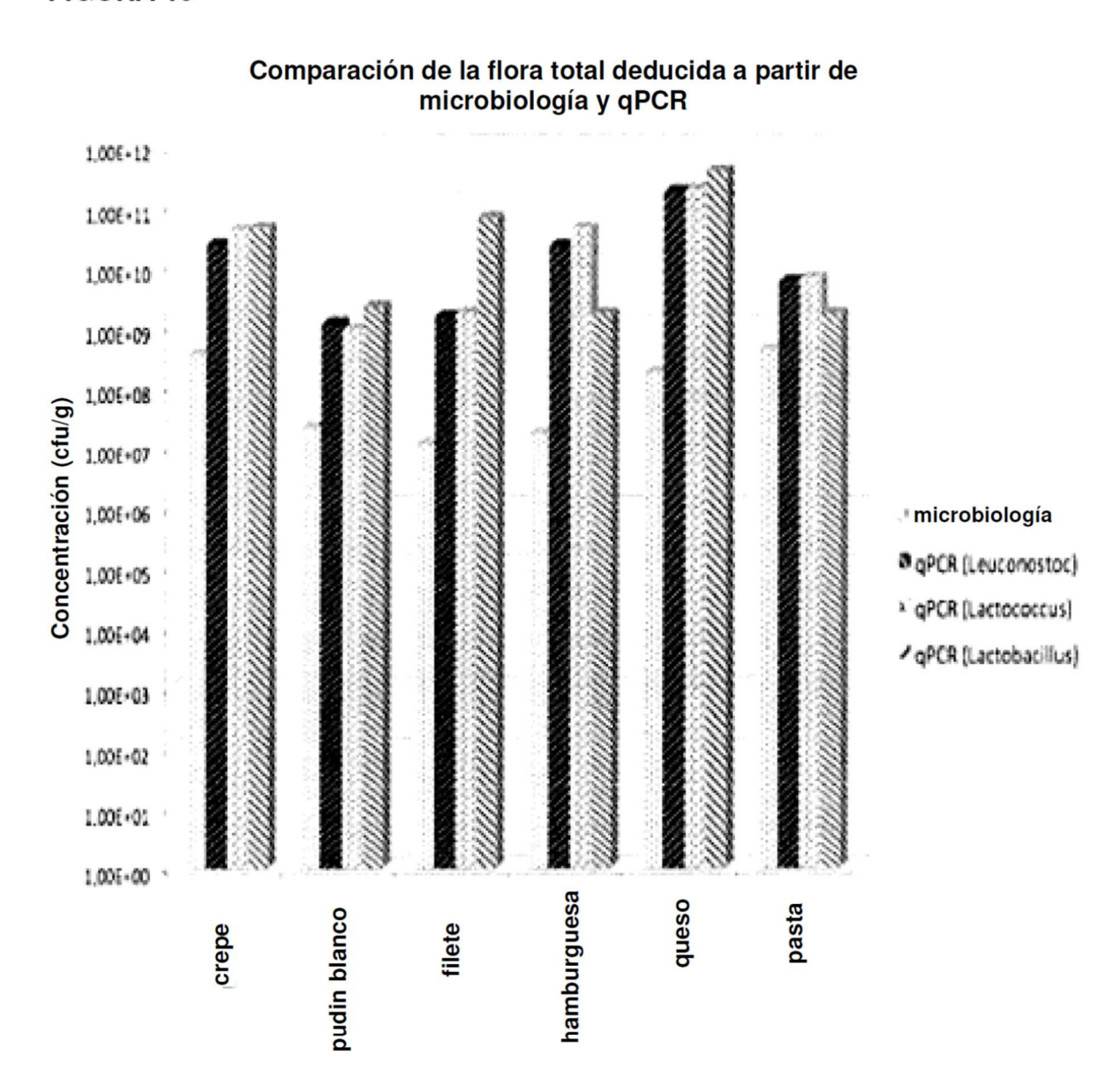


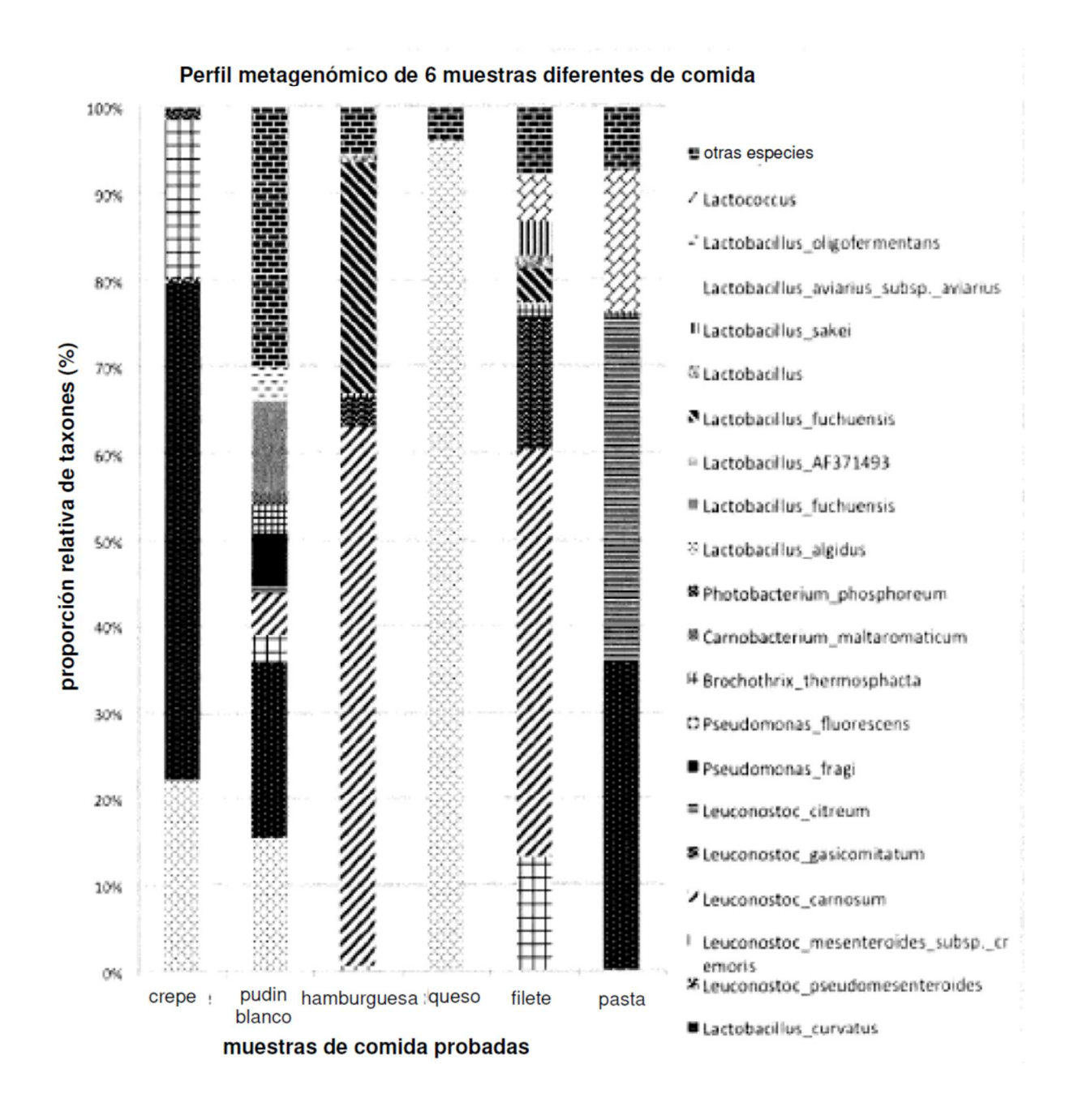
FIGURA 17







#### FIGURA 20 (A)



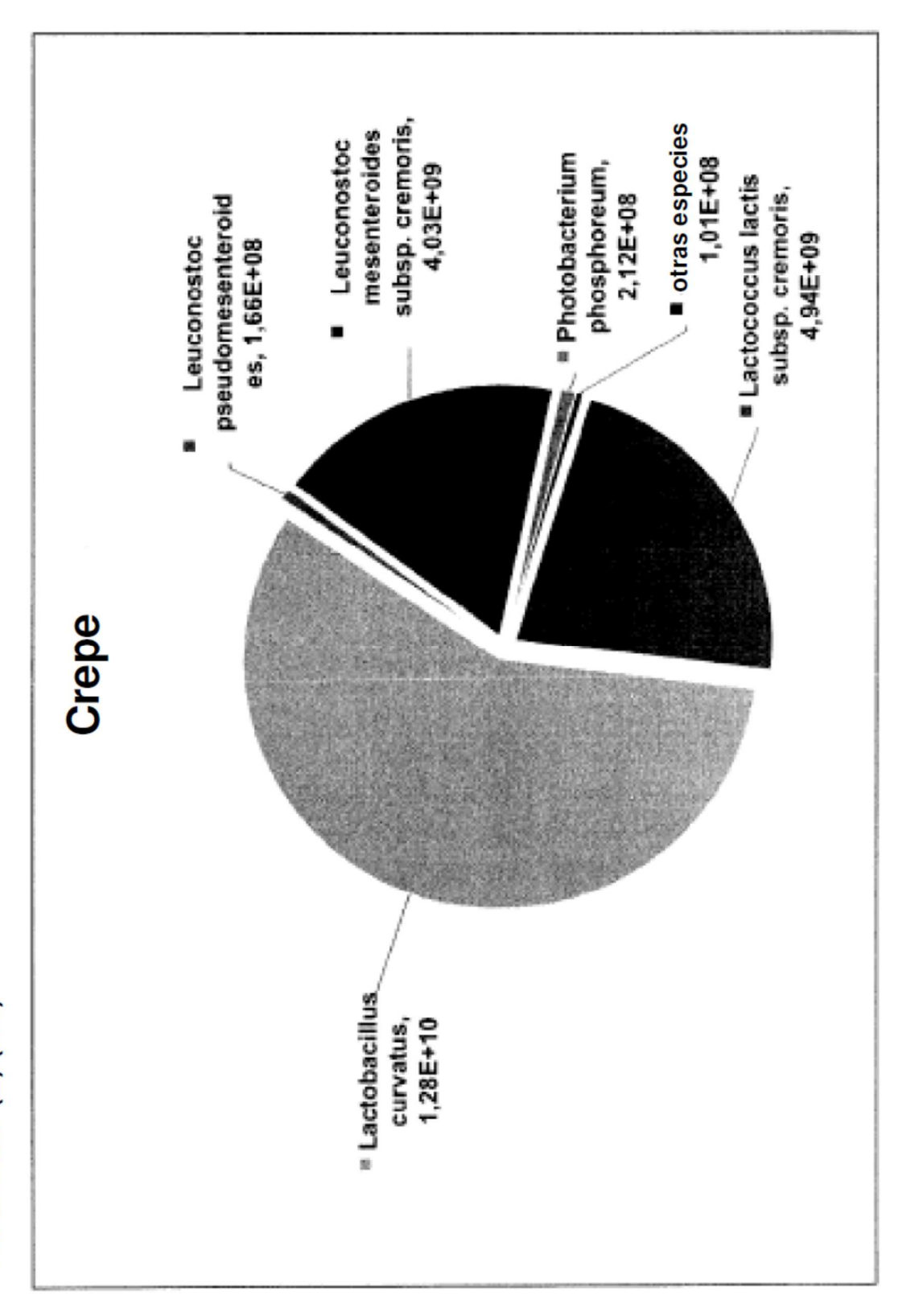


FIGURA 20 (B) (1/6)

\* Leuconostoc citreum, carnosum, 5,80E+07 Pseudomonas fragi, maltaromaticum, Carnobacterium fuchuensis, 1,28E+08 thermosphacta, Leuconostoc 1,13E+07 Brochothrix 1,19E+07 7,26E+07 4,24E+07 Lactobacillus subsp. cremoris, mesenteroides Leuconostoc 3,75E+07 oligofermentans, " Lactobacillus 4,41E+07 " Lactobacillus **Pudin blanco** curvatus, 2,48E+08 otras especies 3,66E+08 Lactococcus lactis. subsp. cremoris, 1,88E+08

FIGURA 20 (B) (2/6)

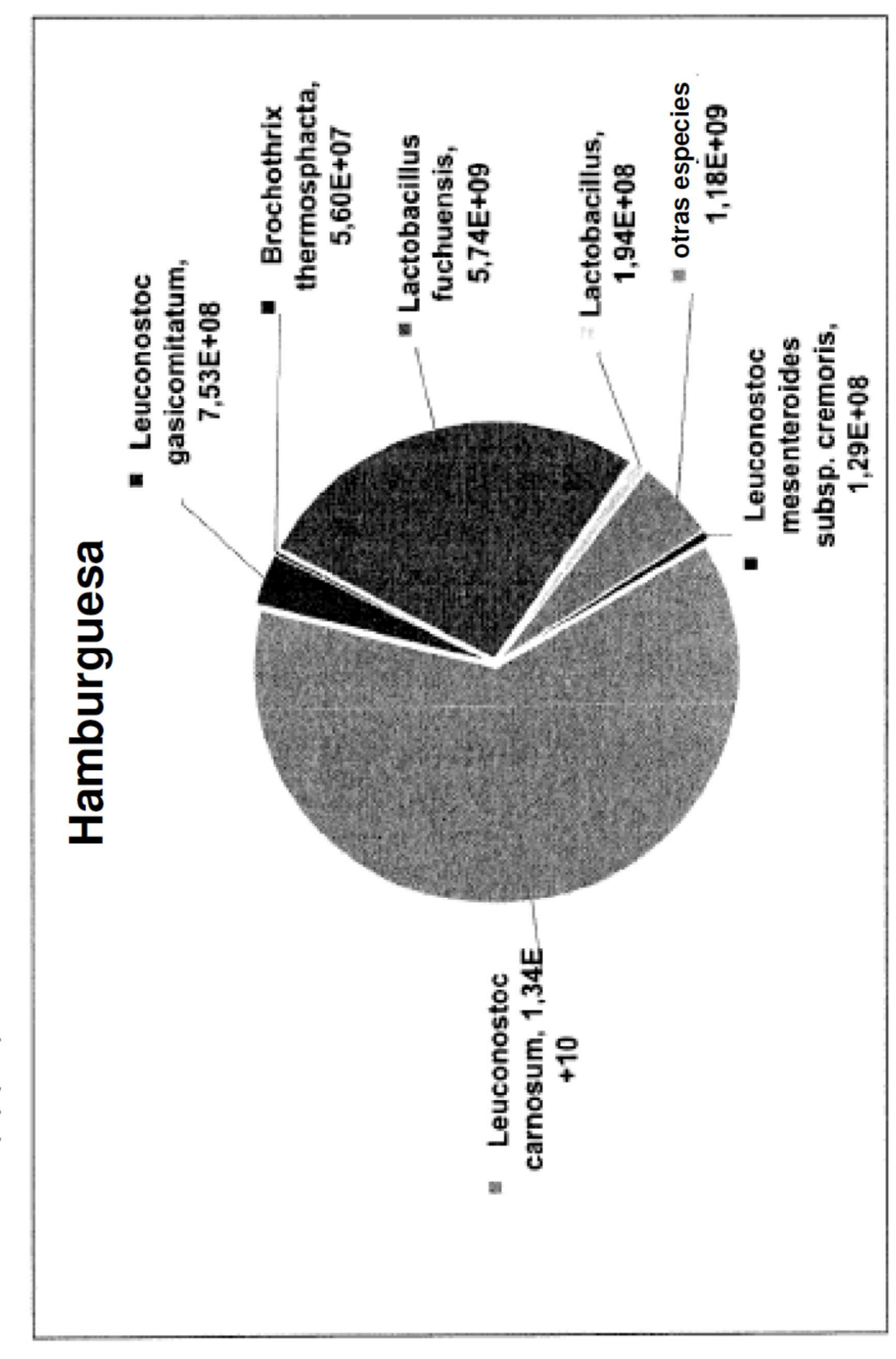
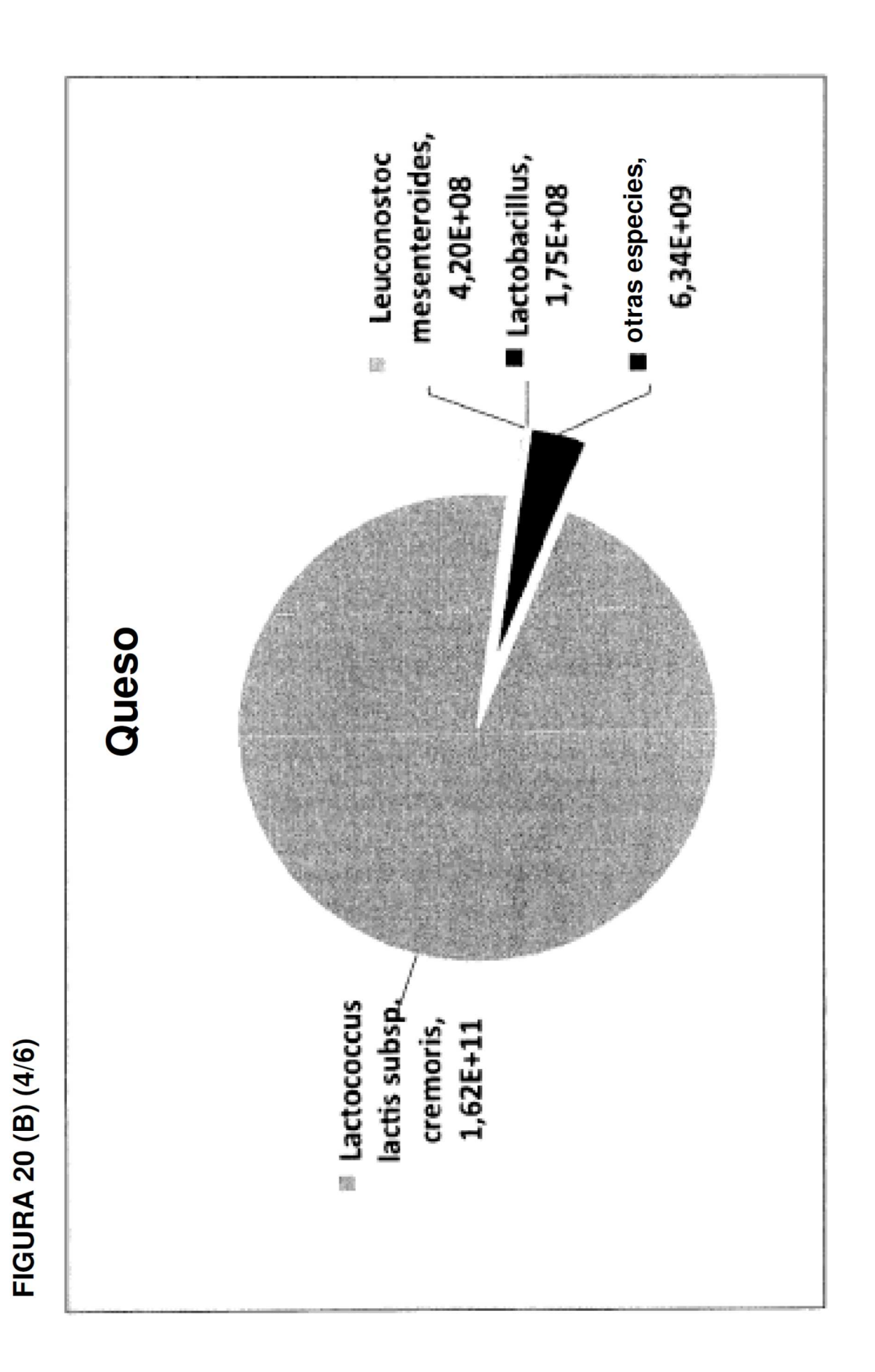


FIGURA 20 (B) (3/6)



61

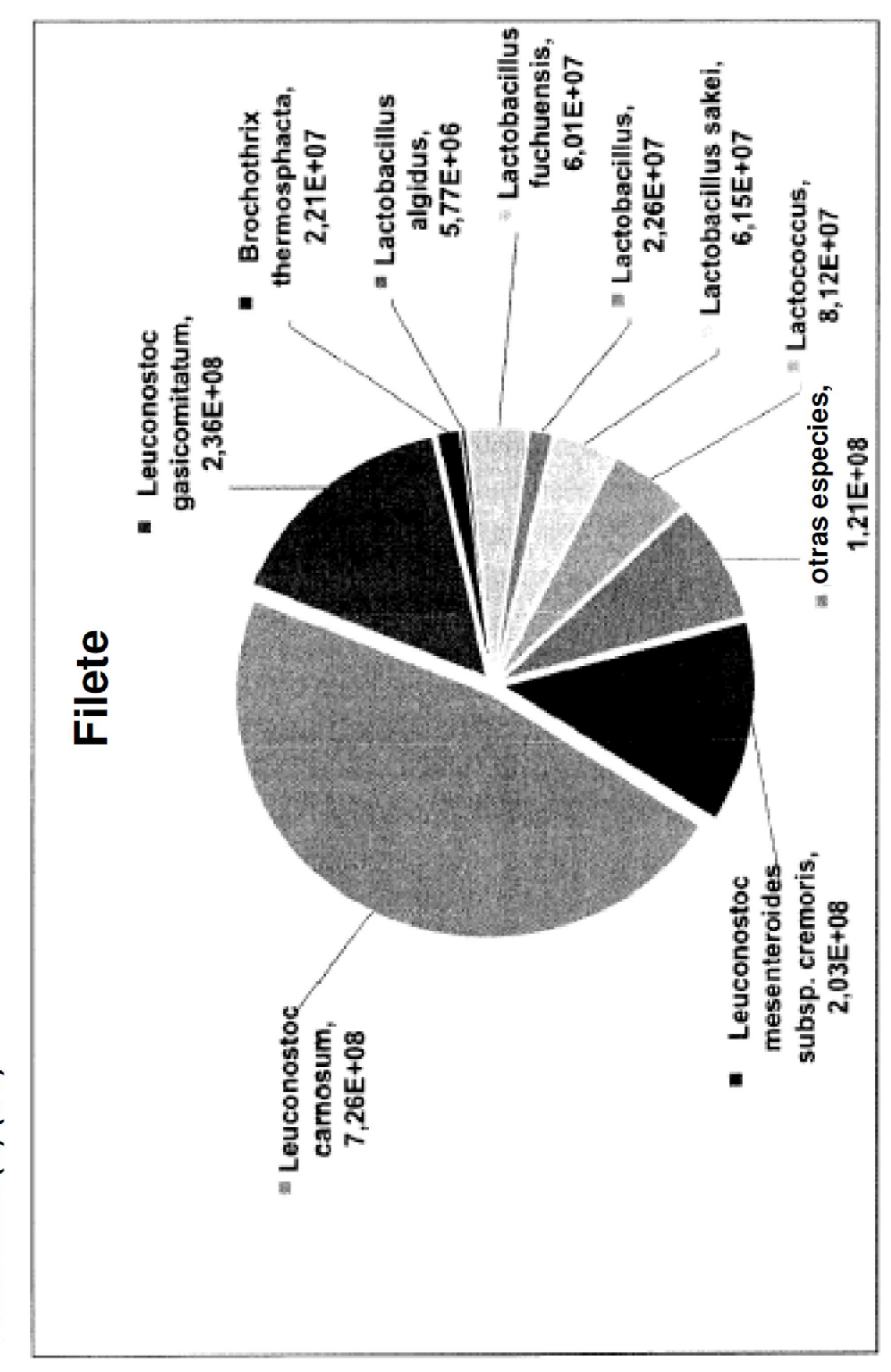


FIGURA 20 (B) (5/6)

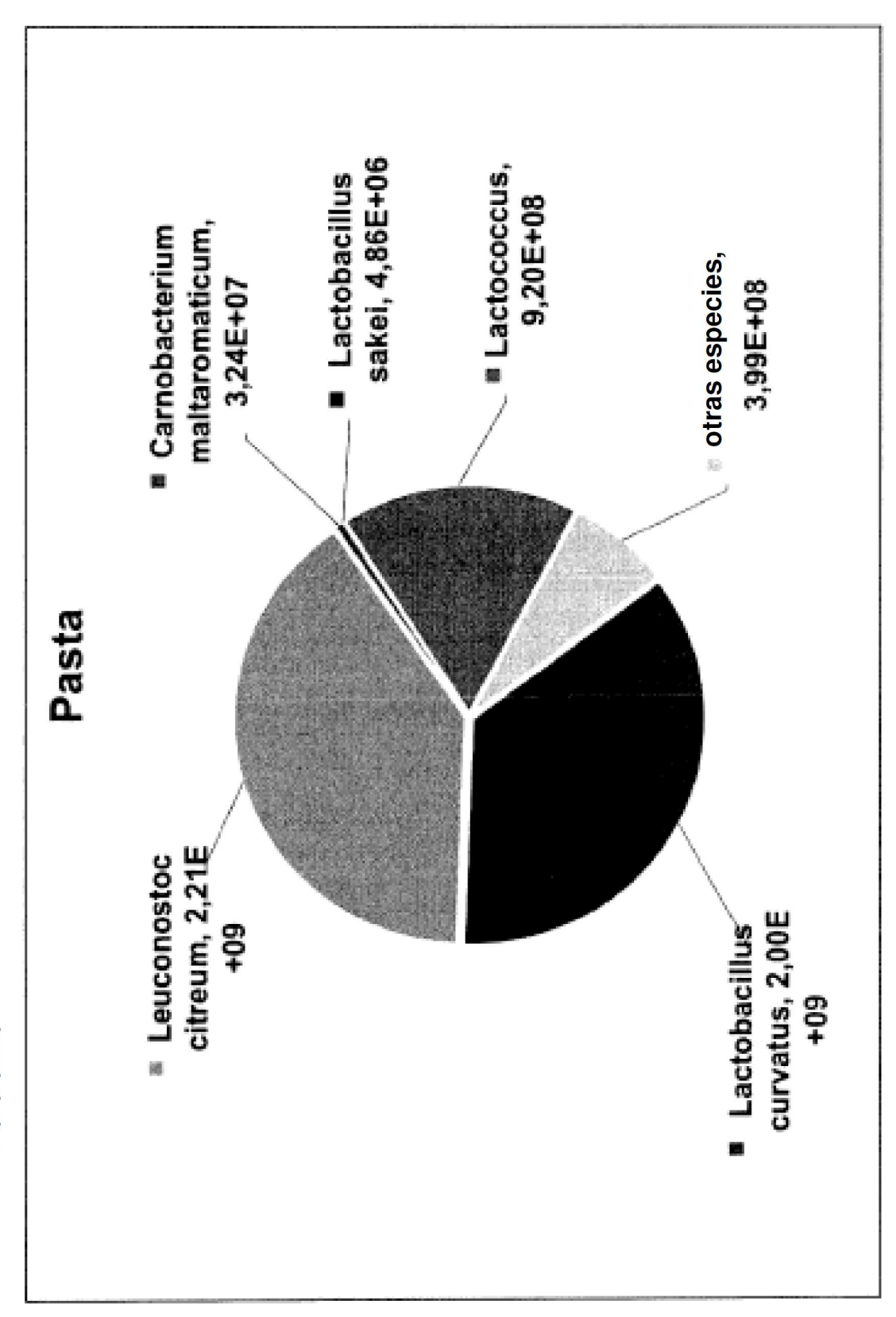


FIGURA 20 (B) (6/6)